



ISTITUTO G. CAPORALE
TERAMO

Canine Distemper





ISTITUTO G. CAPORALE
TERAMO

Famiglia Paramixoviridae

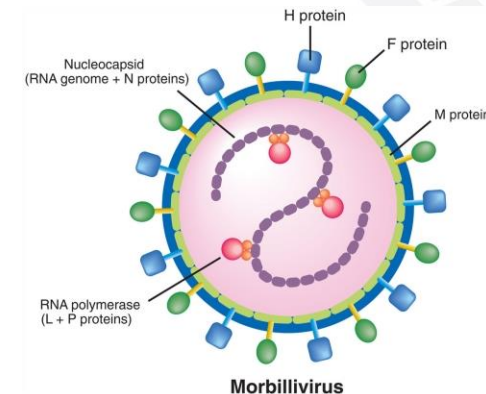
Genere Morbillivirus

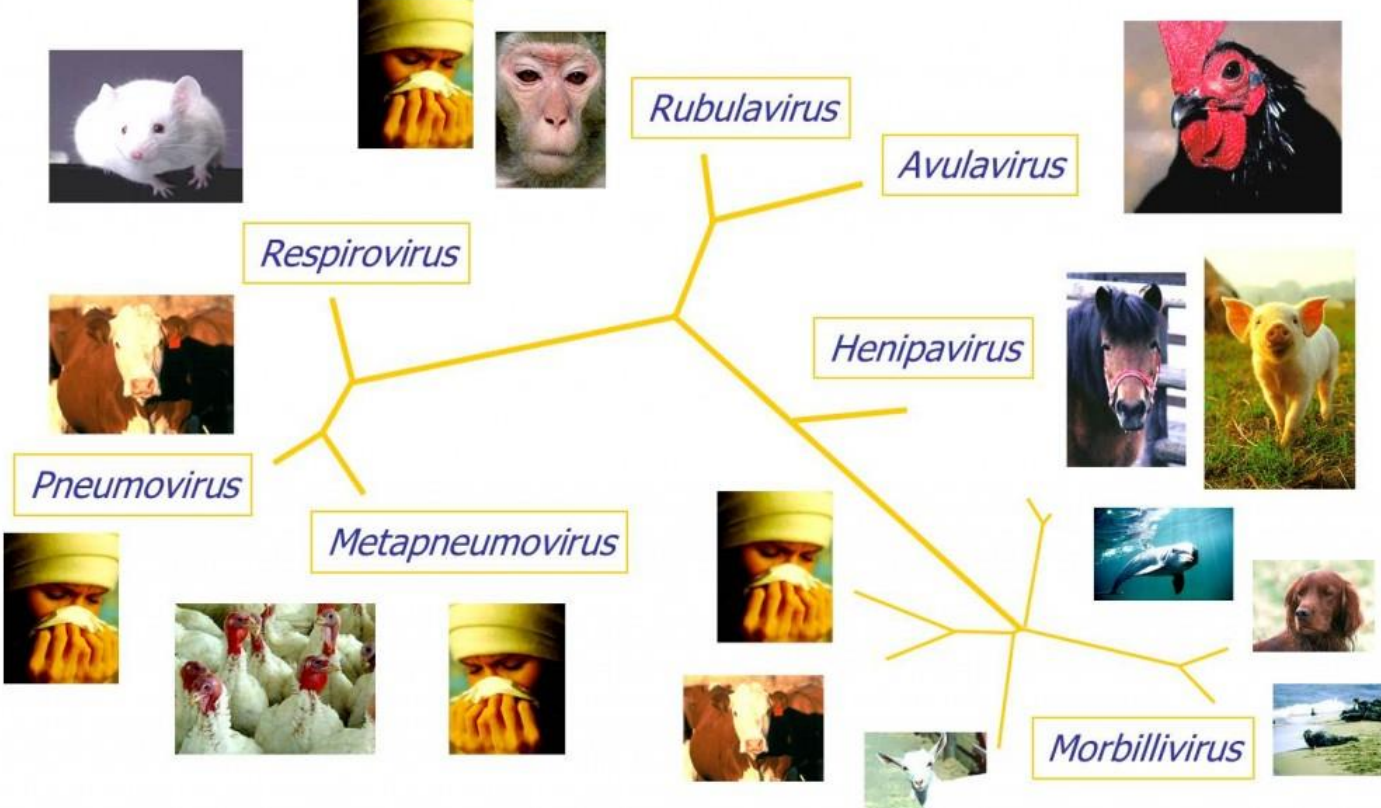
Carrè, 1905

Decorso Acuto e Subacuto

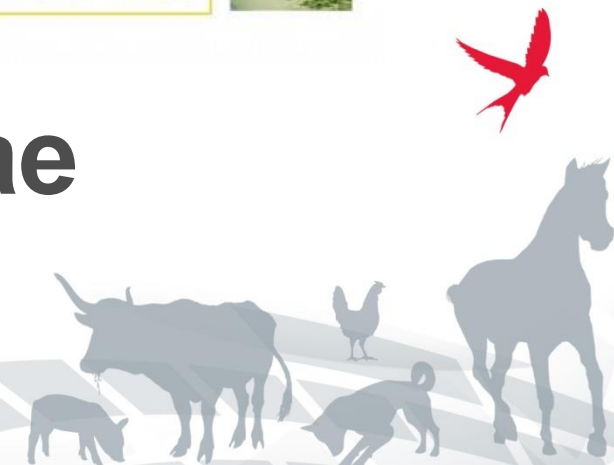
RV, MV, PPRV, DMV, PMV

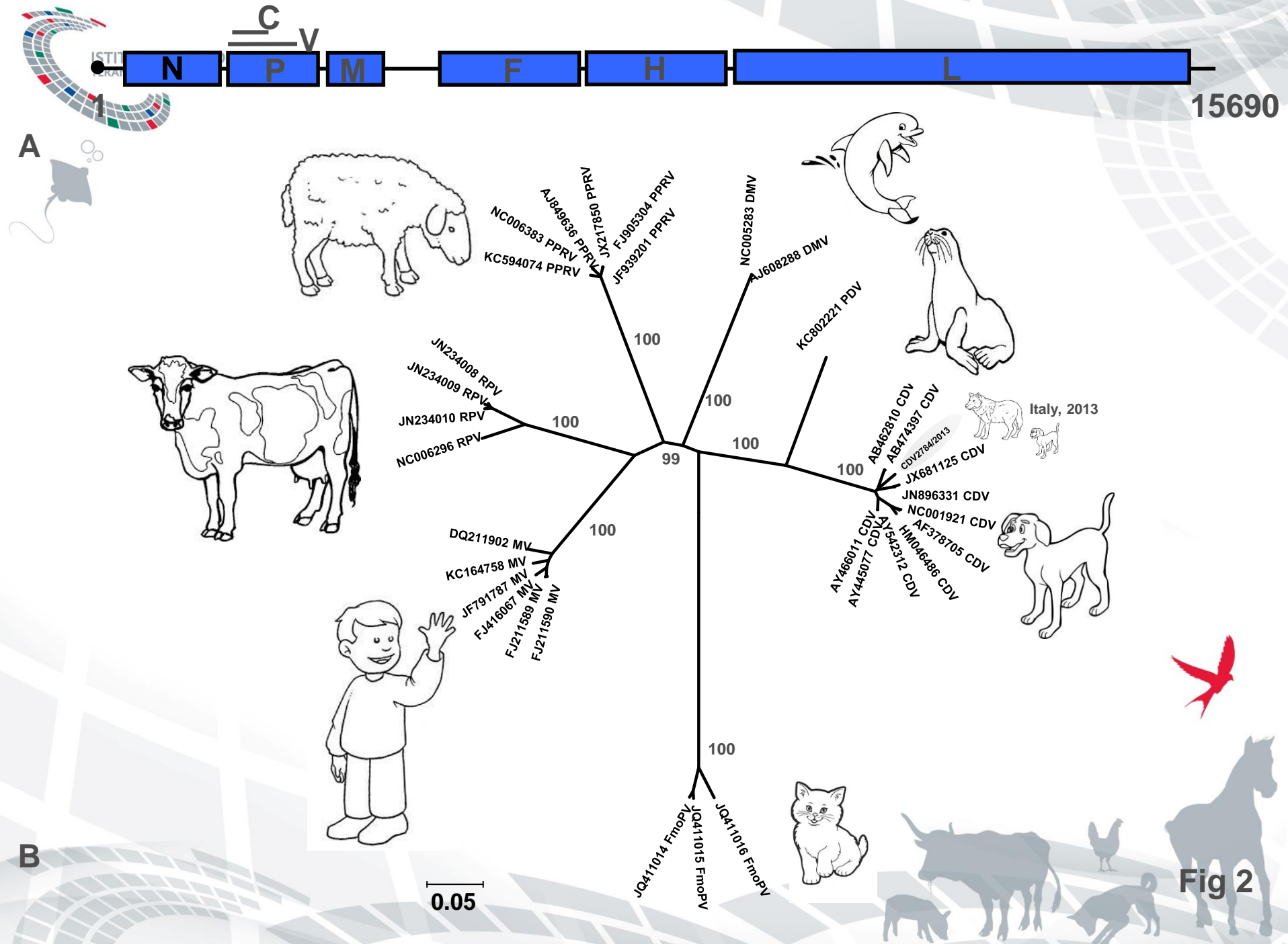
MV eradication?





Paramyxoviridae





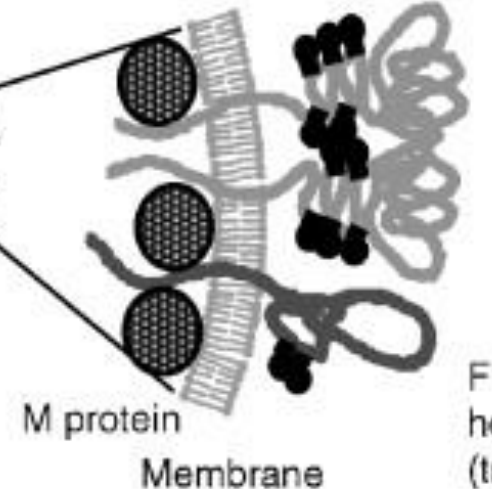
Virus particle

- Nucleocapsid N
- △ Phosphoprotein P
- Matrix protein M
- Fusion protein F
- ◎ Haemagglutinin H
- Polymerase L
- RNA
- Membrane

Genome organisation: ss (-) RNA



Envelope proteins



= N glycosylation



H protein
dimer
(tetramer)

F1/F2
heterodimer
(trimer)





VIRUS LABILE A DIFFERENZA DI CPV-2



**Cani tutte età
Carnivori selvatici, mustelidi
Spill-over in altri animali**



nationalzoo.si.edu

FONZ
Smithsonian
National Zoological Park

Canine Distemper Virus: an Emerging Disease in Wild Endangered Amur Tigers (*Panthera tigris altaica*)

JOURNAL
OF
THE ROYAL
SOCIETY
Interface

J. R. Soc. Interface (2007) 4, 1127–1134
doi:10.1098/rsif.2007.0235
Published online 24 April 2007

The canine distemper epidemic in Serengeti: are lions victims of a new highly virulent canine distemper virus strain, or is pathogen circulation stochasticity to blame?

Micheline Guiserix*, Narges Bahi-Jaber, David Fouchet, Frank Sauvage

DOI: 10.7589/2013-02-027

Journal of Wildlife Diseases, 49(4), 2013, pp. 1024–1027
© Wildlife Disease Association 2013

First Report of Clinical Disease Associated with Canine Distemper Virus Infection in a Wild Black Bear (*Ursus americana*)

Article | OPEN

Fatal canine distemper virus infection of giant pandas in China

Na Feng, Yicong Yu, Tiecheng Wang, Peter Wilker, Jianzhong Wang, Yuanguo Li, Zhe Sun, Yuwei Gao✉ & Xianzhu Xia✉

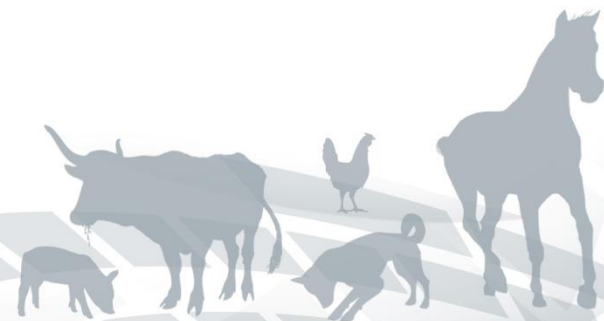
Scientific Reports 6, Article number: 27518
(2016)
doi:10.1038/srep27518

Received: 27 October 2015
Accepted: 10 May 2016
Published online: 16 June 2016



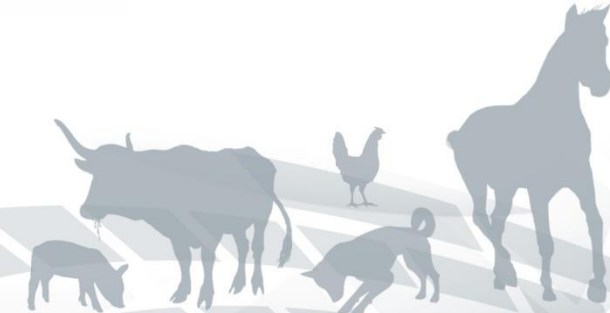
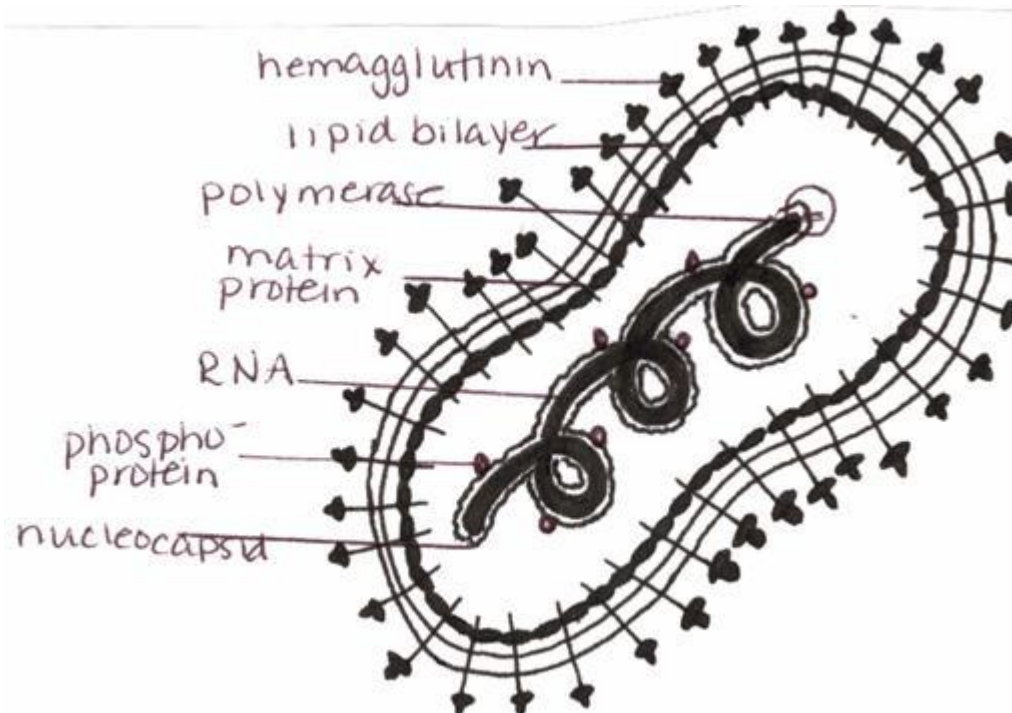


ISTITUTO G. CAPORALE
TERAMO





Morbillivirus



RNA ss- Envelope

Simmetria Elicoidale

F, fusione membrana cellula ospite

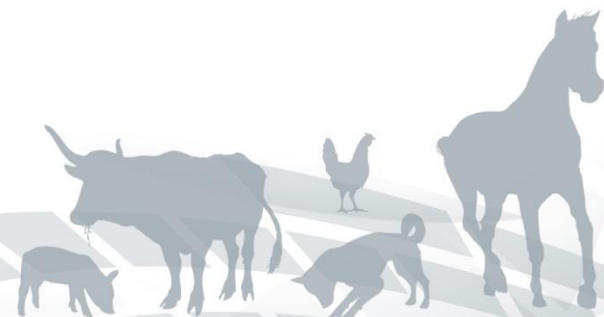
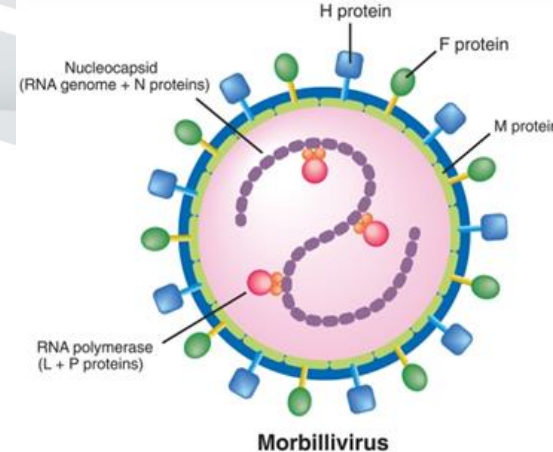
H, adsorbimento

M, proteina interna

N, nucleoproteina

L, polimerasi

P, fosfoproteina





Disease	Geography of emergence	Impact on wildlife population	Refs
Plague	Panglobal, notably India, SW USA	Highly mortality in prairie dog "towns" during epizootics leading to declines in endangered black-footed ferret	J. F. Cully, A. M. Barnes, T. J. Quan, G. Maupin, <i>J. Wildl. Dis.</i> 33, 706 (1997).
Canine distemper	USA, Africa	Extinction of African wild dog and black-footed ferret; threat to Ethiopian wolf	T. Thorne and E. S. Williams, <i>Conserv. Biol.</i> 2, 66 (1988). J. R. Ginsberg, G. M. Mace, S. Albon, <i>Proc. R. Soc. London Ser. B.</i> 262, 221 (1995); M. E. Roelke-Parker et al., <i>Nature</i> 379, 441 (1996); K. Laurenson, <i>Anim. Conserv.</i> 1, 273 (1998).
Canine parvovirus disease	Europe, USA	Suspected cause of grey wolf population declines; threat to Ethiopian wolf	I. McCandlish, H. Thompson, C. Cornwell, E. Fisher, <i>Vet. Rec.</i> 105, 180 (1979); C. R. Parrish et al., <i>Science</i> 230, 1046 (1985).
Sarcoptic mange	Australia, UK, Sweden	Recent threat wildlife in Sweden; emerging threat to wombats in Australia	E. Lindstrom et al., <i>Ecology</i> 75, 1042 (1994); L. F. Skerratt, R. Martin, K. Handasyde, <i>Austral. Vet. J.</i> 76, 408 (1998).

From Emerging infectious diseases of wildlife--threats to biodiversity and human health. Daszak P, Cunningham AA, Hyatt AD. Science, 2000



VIE DI TRASMISSIONE DEL VIRUS DEL CIMURRO

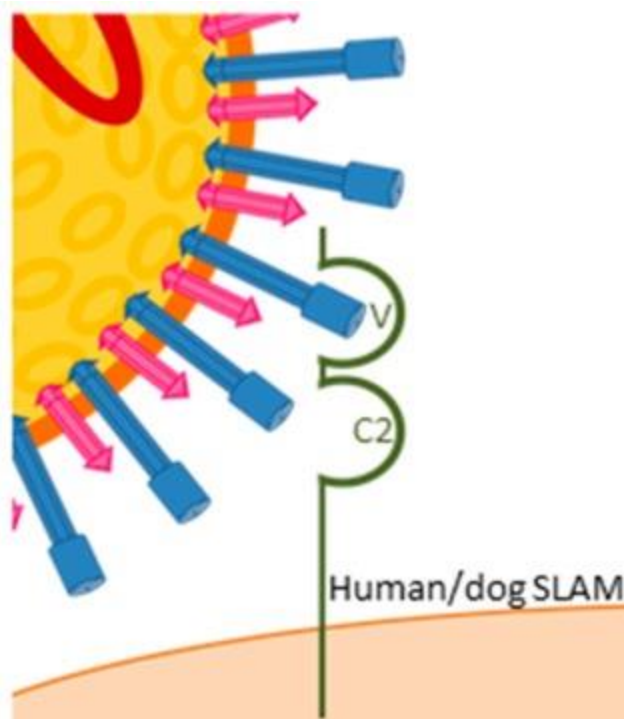
- Aerosol
- Organi linfoidi (recettore)
- Epiteli (recettore) e CNS (8-12 g pi)
- Sintomi respiratori, intestinali, cutanei
- Sintomatologia nervosa (20 g pi)
- Immunosoppressione



• Resident immune cells in the RT are the initial target

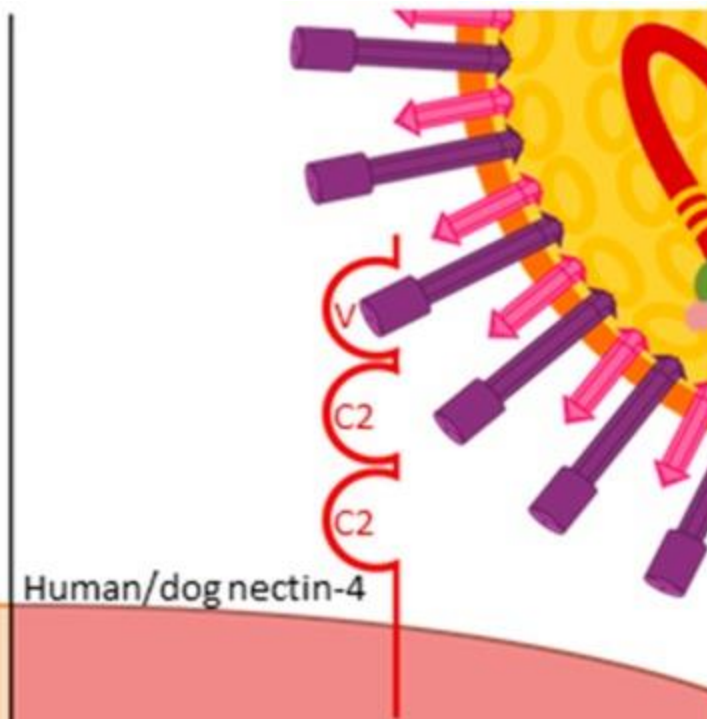
- Local immune organs
- Systemic dissemination: first febrile peak 3-6 gg pi
- This stage of the infection is critically dependent on the interaction of the virus with the immune cell receptor CD150 or SLAMF1
- SLAMF1 has two extracellular domains, V and C2, interactions with H protein (variable domain, structural proximity)
- Mutations in these H residues result in the missed infection of immune cells but replication in epithelial cells
- Mutant viruses were able to cause replication in ferrets and protection but not systemic disease
- Limited replication in epithelial cells close to the inoculation site likely occurs





Human/dog SLAM

Immune cell



Human/dog nectin-4

Epithelial cell

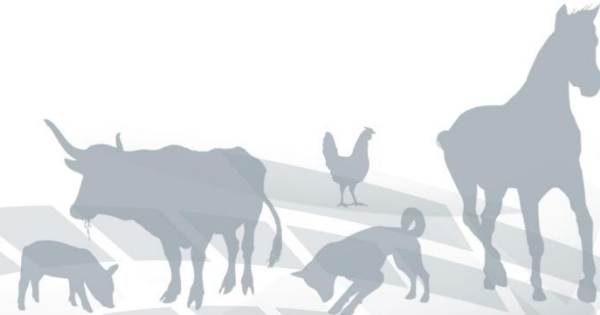
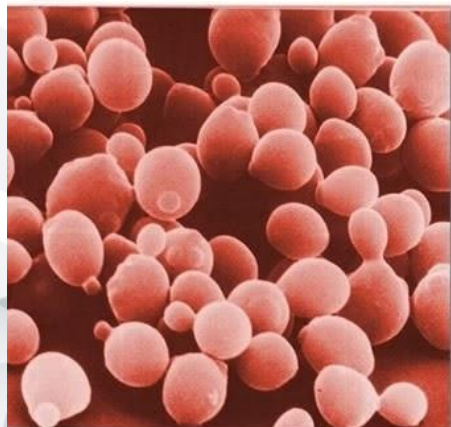


- **Efficiency of immune recognition by the respective host determines the extent of virus amplification in immune cells and thereby the level of spread to epithelial cells.**
- **In ferrets, which are unable to control wild type viruses, infection levels exceeding 80% of B or T cells can be observed in certain immune tissues, whereas levels below 10% are usually found in MeV-infected macaques**
- **Consequently, there is a massive infection of epithelial tissues in wild type virus-infected ferrets, leading to severe respiratory and gastro-intestinal signs of disease and death within two to five weeks whereas most primates develop only localized infection of epithelial cells and mild clinical signs**
- **SNC, 8-10 gg**
- **10-30 gg guarigione o replication**
- **20 gg Encefalomielite acuta**

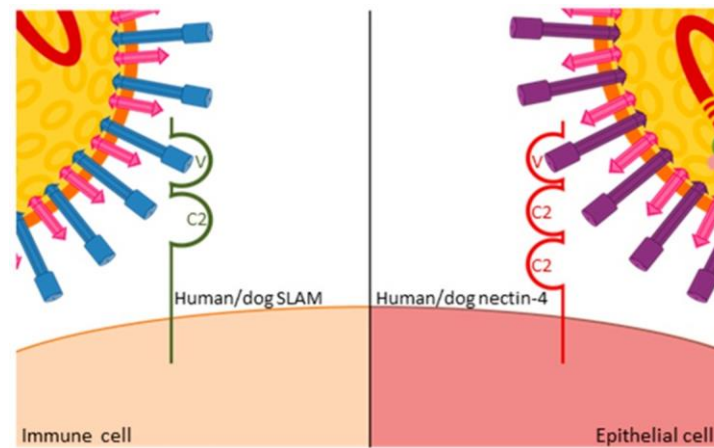


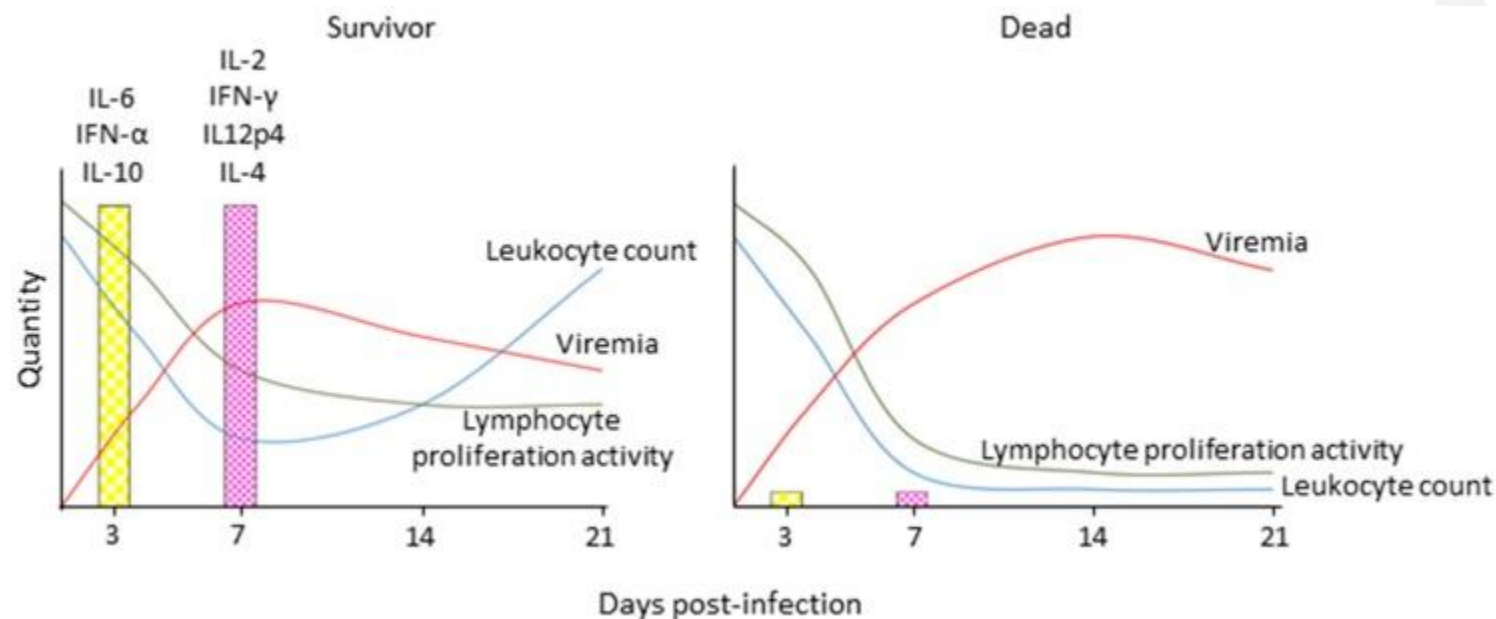


- The severe transient immunosuppression, which occurs at variable levels and can last from weeks to months after the resolution of the disease, is one of the hallmarks of morbillivirus infections.
- Morbilliviruses additionally induce an anergy-like state in immune cells that prevents their ex vivo activation by non-specific stimuli and leads to the loss of delayed-type hypersensitivity responses
- It is this long-term immunosuppression that leaves patients with an increased susceptibility to secondary infections such as pneumonia and gastroenteritis, which significantly contribute to MeV-associated morbidity and mortality

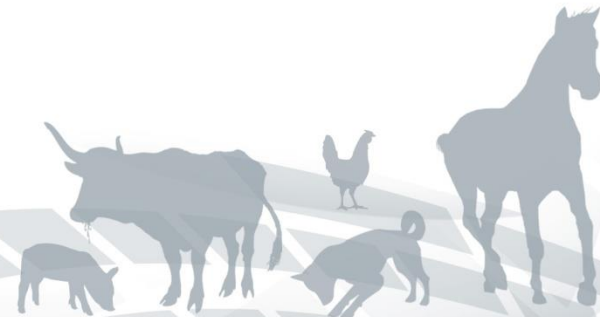


Immunosuppression is caused by immune cell infection while clinical signs, and likely also transmission, result from epithelial cell infection.





Schematic depiction of immune response profiles associated with different morbillivirus disease outcomes. Survivors display robust innate immune activation and experience transient immune suppression as indicated by a transient drop in leukocytes and lymphocyte proliferation activity upon non-specific stimulation, robust induction of innate and then adaptive cytokine responses, and control of cell associated viremia, while animals that succumb to the disease experience severe leukopenia and complete loss of lymphocyte proliferation activity, and are unable to activate innate immune responses and control the virus.





SINTOMI

Incubazione 1-4 settimane

1 ipertermia 3-4 gg pi

2 ipertermia dopo 7 gg pi

Acuta: epiteli respiratori, urogenitali, ghiandolari, cervello

Subacuta: RI tardiva, encefalite

Demielinizzazione acuta

Demielinizzazione cronica, dopo 6-7 settimane pi

Ipercheratosi cuscinetti plantari e tartufo (rara)

Ipoplasia smalto

Sintomi nervosi, epilessie, mioclonie, paresi.

Durano fino ad un mese e possono sparire con risposta immunitaria



DIAGNOSI IntraVitam!

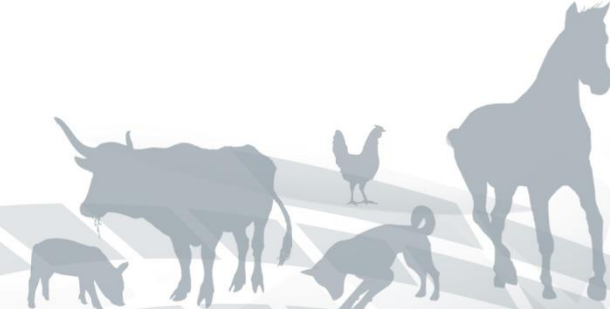
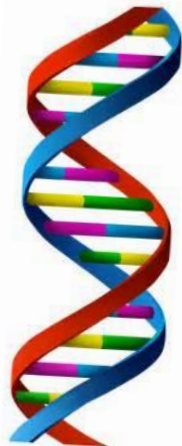
Urine, tampone congiuntivale, sangue intero, siero (RT-PCR)

IF da tampone congiuntivale e buffy coat!

Ricerca IgM

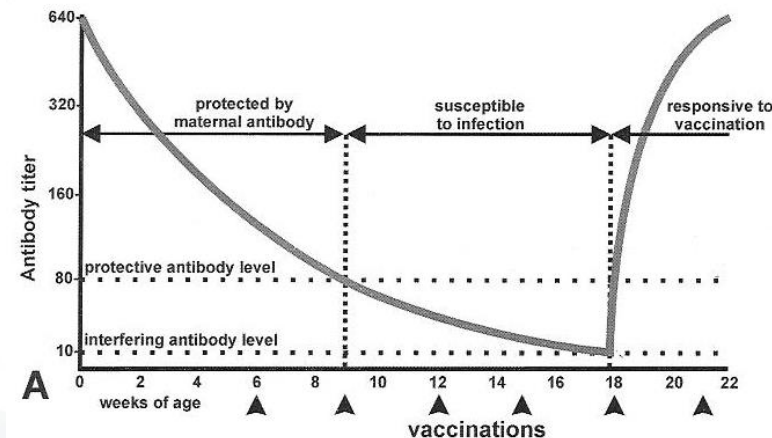
DIAGNOSI Post Mortem

Cervelletto, polmone, milza, vescica, linfonodi, RT-PCR, IHC



Profilassi

- Isolamento cani infetti
- Disinfezione ambienti
- Vaccini vivi attenuati, ottimi
- Interferenza MDA
- Gap immunologico tra la quinta ed ottava settimana (1:80-1:20)
- Emivita MDA 9 giorni





MDA ostacolano immunizzazione:

- **75% cuccioli a 6 settimane**
- **25% cuccioli a 9 settimane**
- **<5% cuccioli a 12 settimane**



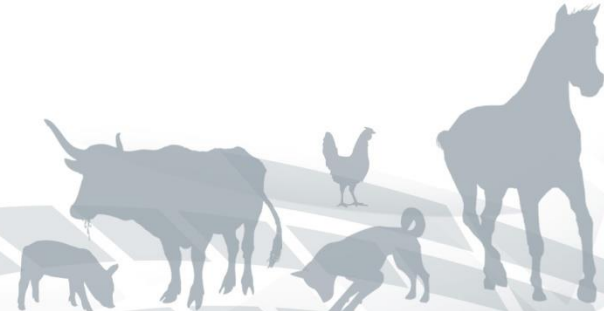
Cuccioli < 16 settimane:

- **3 dosi tra la sesta e la sedicesima settimana, ogni 3-4 settimane**

Cani > 16 settimane:

- **Due dosi a distanza di 3-4 settimane**
- **1 sola dose può andare bene**

Rivaccinazione ad 1 anno e poi ogni 3 anni





ISTITUTO G. CAPORALE
TERAMO



Cimurro





Pubblicazione 19/10/2011 Revisione N. 1

ISTITUTO G. CAPORALE
BUREAU ECOFAUNISTICO SPERIMENTALE
DELL'ABRUZZO E DEL MOLISE
G. CAPORALE
Campo Boario - 63021 L'Aquila Teramo
tel. 0865 32251 - fax 0641 32251
www.izs.it - wmsam@izs.it

NRG		
DATA DEL PRELIEVO / /		
SISTEMA INFORMATIVO FAUNA SELVATICA		
MODULO CONFERIMENTO CAMPIONI		
SPECIE	1 ^o CONFERIMENTO	
MATERIALE CONFERITO	<input type="checkbox"/> Carcassa <input type="checkbox"/> Reni <input type="checkbox"/> Polmone <input type="checkbox"/> Muscolo <input type="checkbox"/> Milza <input type="checkbox"/> Cuore <input type="checkbox"/> Fegato <input type="checkbox"/> Intestino <input type="checkbox"/> Sangue <input type="checkbox"/> Siero <input type="checkbox"/> Contenuto gastrico <input type="checkbox"/> Altri <input type="checkbox"/> Feci <input type="checkbox"/> Organi interni	
PROVENIENZA	RICHIEDENTE <input type="checkbox"/> Vita libera <input type="checkbox"/> Area faunistica <input type="checkbox"/> CRAS <input type="checkbox"/> Altro Ente ¹ _____ <input type="checkbox"/> Allevamento <input type="checkbox"/> Attestato agri-turistico venatorio Indirizzo _____ <input type="checkbox"/> Attestato turistico venatoria Veterinario referente _____ Codice azienda _____ Moltitudine _____ Comune _____ Provincia _____	
LUOGO DEL RITROVAMENTO		
PROVINCIA _____	COMUNE _____	LOCALITÀ _____
COORDINATE GEOGRAFICHE IN GRADI DECIMALI (WGS 84 LAT/LONG):		
LATITUDINE _____	LONGITUDINE _____ oppure	
COORDINATE GEOGRAFICHE IN FORMATO SESSADESIMALE (DD° MM' SS'')		
LATITUDINE _____° _____' _____"	LONGITUDINE _____° _____' _____"	
ANAMNESI _____		
IDENTIFICAZIONE ANIMALE		FOTO IN ALLEGATO <input type="checkbox"/> Si
SESSO: <input type="checkbox"/> M <input type="checkbox"/> F <input type="checkbox"/> NON IDENTIFICATO ETÀ ² : _____(ANNI)		
IDENTIFICATIVO (MICROCHIP, MARCA AURICCOLARE, RADIOCOLLARE, RIFERIMENTO – ENTE DI PROVENIENZA) ²		

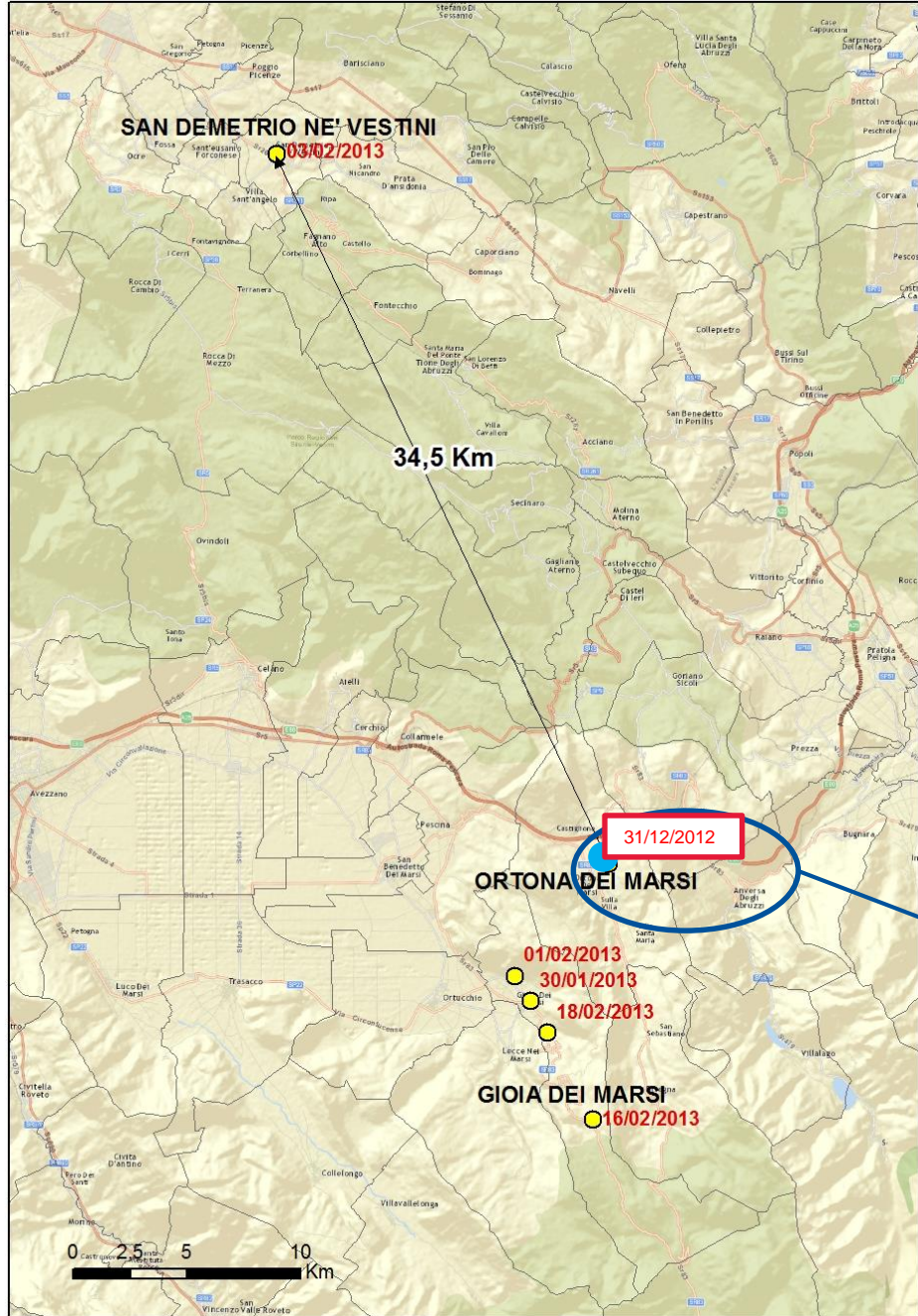
1/3

IZS dell'Abruzzo e del Molise FAUNA SELVATICA

CARNIVORI SELVATICI			
Tipologia accertamento	Materiale da prelevare	Accertamento	
Parassitologico	Feci	Endoparassiti	Strongili Broncopolmonari
	Mucolo tibiale craniale	Trichinella	
Virologico	Intestino tenue	Parvovirus Cane	
	Polmone	Cimurro	
	Fegato	Epatite infettiva	

Dal 2010 in IZSAM esiste una raccolta sistematica di informazioni utili a successive analisi





31 Dicembre 2012

**Recuperati due lupi di età <1 anno ad
Ortona dei Marsi
Sospetto avvelenamento**

Rilievo di CARBOFURAN

id	Contenuto gastrico	Fegato
Maschio	1,24 mg/kg	1,83 mg/kg
Femmina	-	1,08 mg/kg





FEMMINA
Età < 1 anno
10,5 Kg

Ortona dei Marsi
31/12/2012



I lupi si presentavano all'esame anatomo-patologico: fortemente defedati (dimensioni corporee fortemente ridotte per l'età)

e...



MASCHIO
Età < 1 anno
8,1 Kg

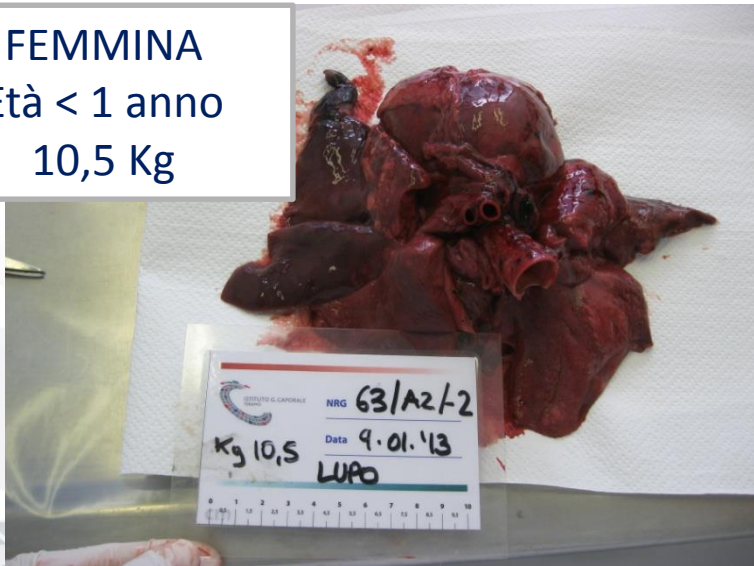


ISTITUTO G. CAPORALE
TERAMO

MASCHIO
Età < 1 anno
8,1 Kg



FEMMINA
Età < 1 anno
10,5 Kg



Broncopolmonite acuta caratterizzata da un denso infiltrato infiammatorio, costituito da granulociti neutrofili e macrofagi, che occupa le vie respiratorie profonde.

Si osservano alcuni elementi sinciziali. Presenza di inclusi di probabile natura virale nei sincizi e nelle cellule epiteliali delle vie respiratorie.

Presenza di cellule immunoreattive nei confronti del virus del cimurro canino.

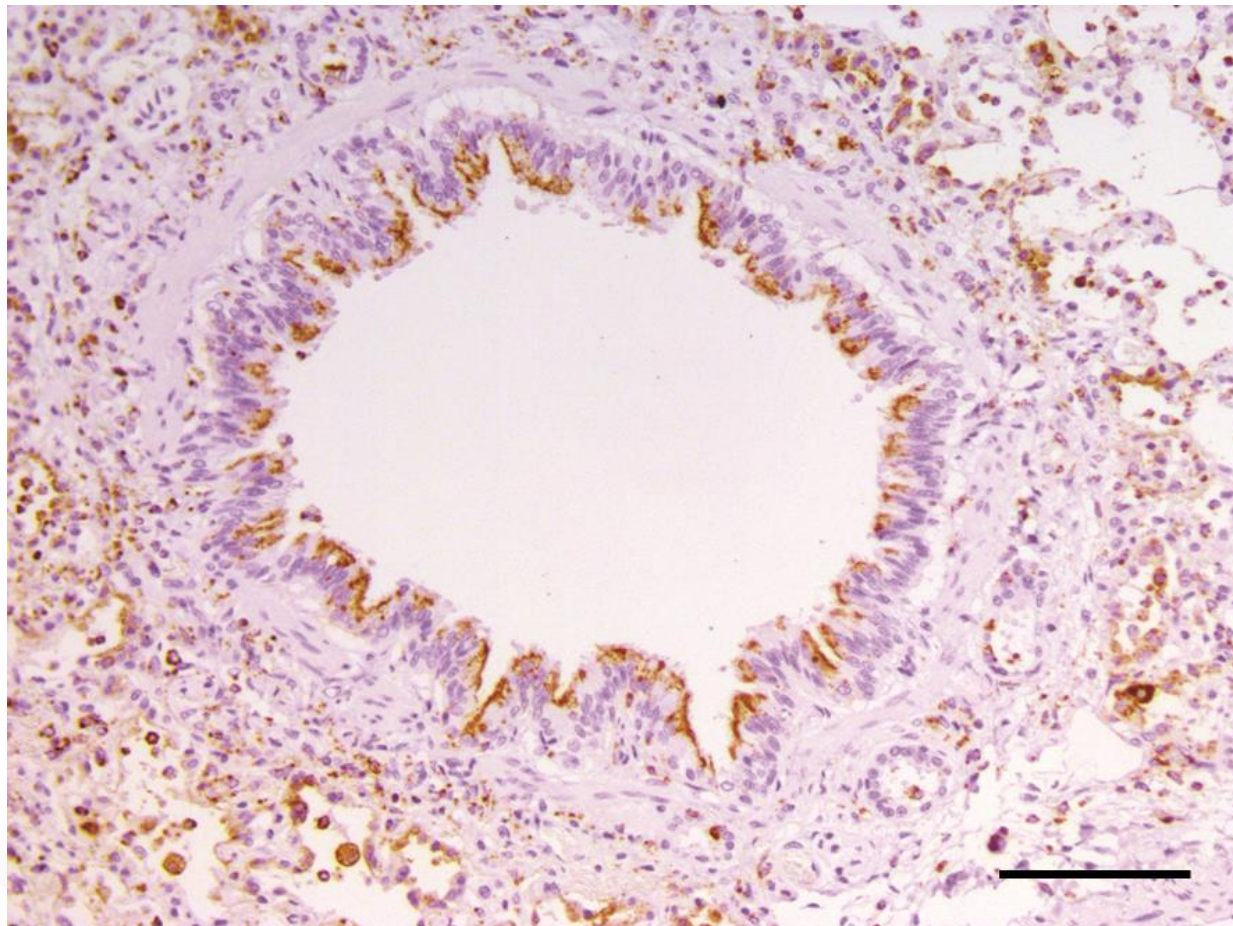
Encefalite caratterizzata da manicotti linfocitari perivasali.

**Ortona dei Marsi
31/12/2012**





ISTITUTO G. CAPORALE
TERAMO





FEMMINA
Età < 1 anno
14,8 Kg

Broncopolmonite purulenta
con aree di emorragia.
Positività lieve e puntiforme per
antigene virale del cimurro

Meningite caratterizzata da
infiltrato infiammatorio misto

NRG 663/AZ/2013
San Demetrio
03/02/2013

CASI CIMURRO LUPI 2013



Istopatologia ed immunoistochimica

- **Broncopolmonite caratterizzata da un denso infiltrato infiammatorio ricco di granulociti neutrofili e macrofagi alveolari. Aree di polmonite interstiziale con ispessimento dei setti alveolari e presenza di membrane ialine. Congestione vasale ed edema alveolare.(4016)**
- **Polmonite catarrale, presenza di inclusi intracitoplasmatici. Quadro riferibile a polmonite virale (2648)**
- **Encefalite e meningite**



ISTITUTO G. CAPORALE
TERAMO



JOURNAL OF VIROLOGICAL METHODS 202 (2014) 64–68



ELSEVIER

Contents lists available at ScienceDirect

Journal of Virological Methods

journal homepage: www.elsevier.com/locate/jviromet



CrossMark

Short communication

Whole genome sequence analysis of the arctic-lineage strain responsible for distemper in Italian wolves and dogs through a fast and robust next generation sequencing protocol

Maurilia Marcacci, Massimo Ancora, Iolanda Mangone, Liana Teodori, Daria Di Sabatino, Fabrizio De Massis, Cesare Camma*, Giovanni Savini, Alessio Lorusso*

National Reference Centre for Urban Hygiene and Non-Epidemic Emergencies, Istituto Zooprofilattico Sperimentale dell'Abruzzo e Molise "G. Caporale", 64100 Teramo, Italy



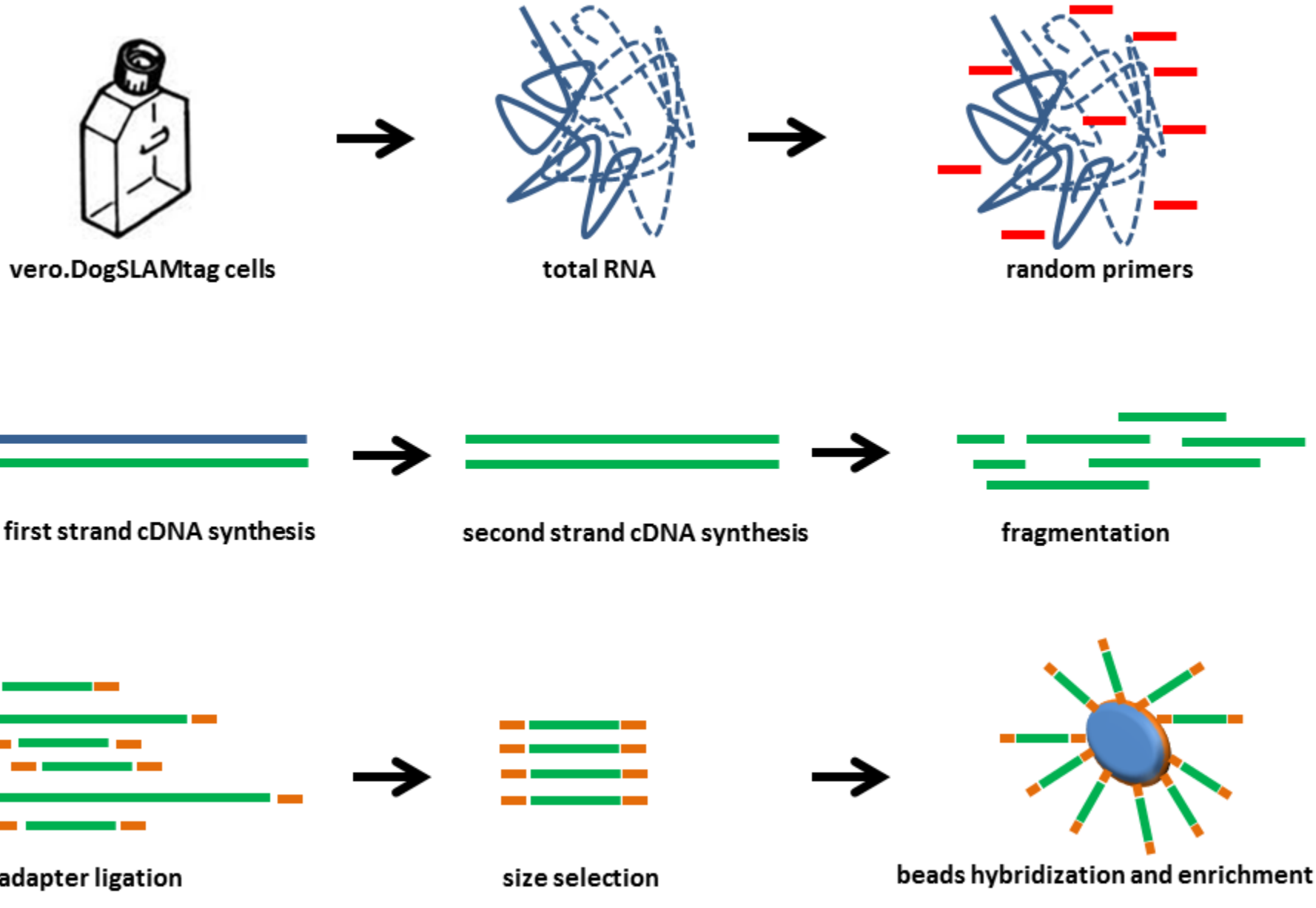


Fig 1

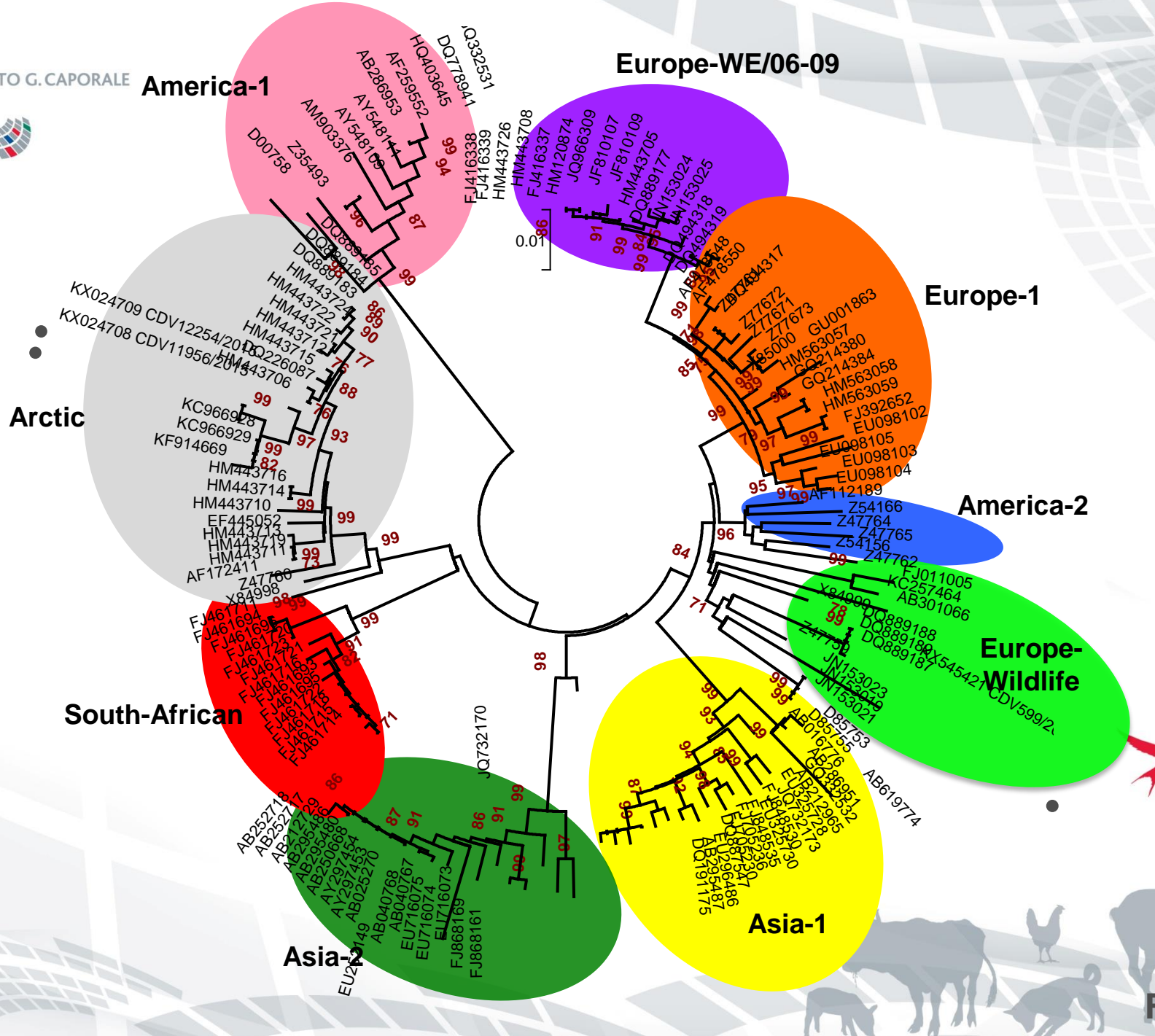
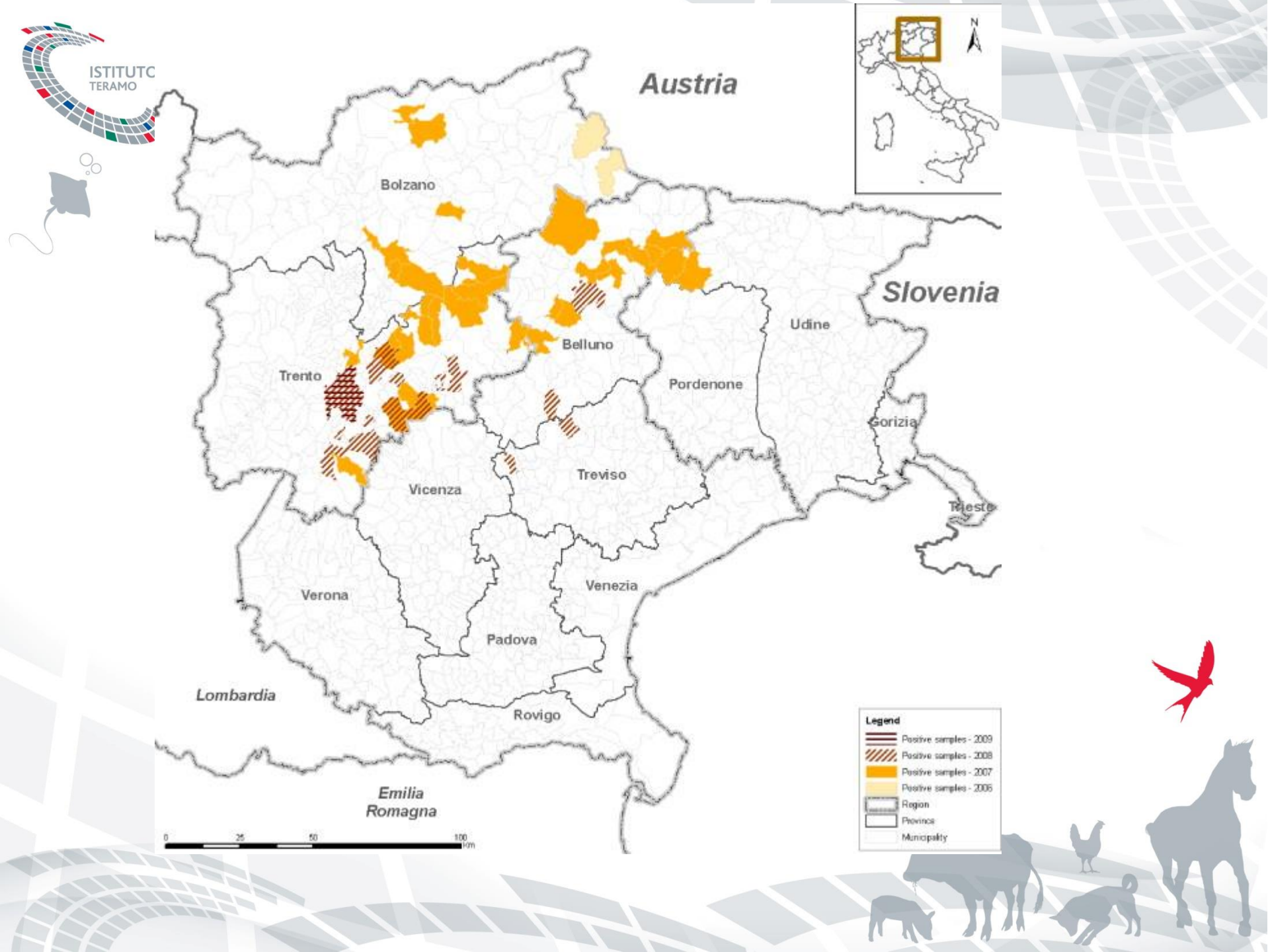


Fig 4





Arctic-like lineage

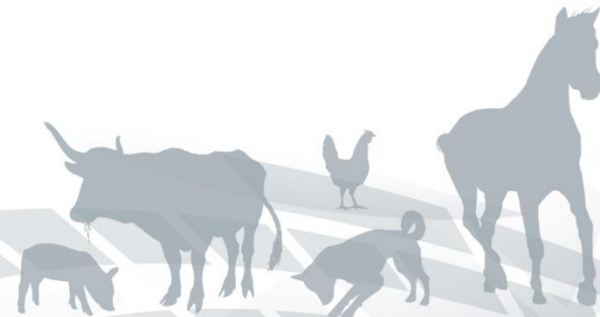
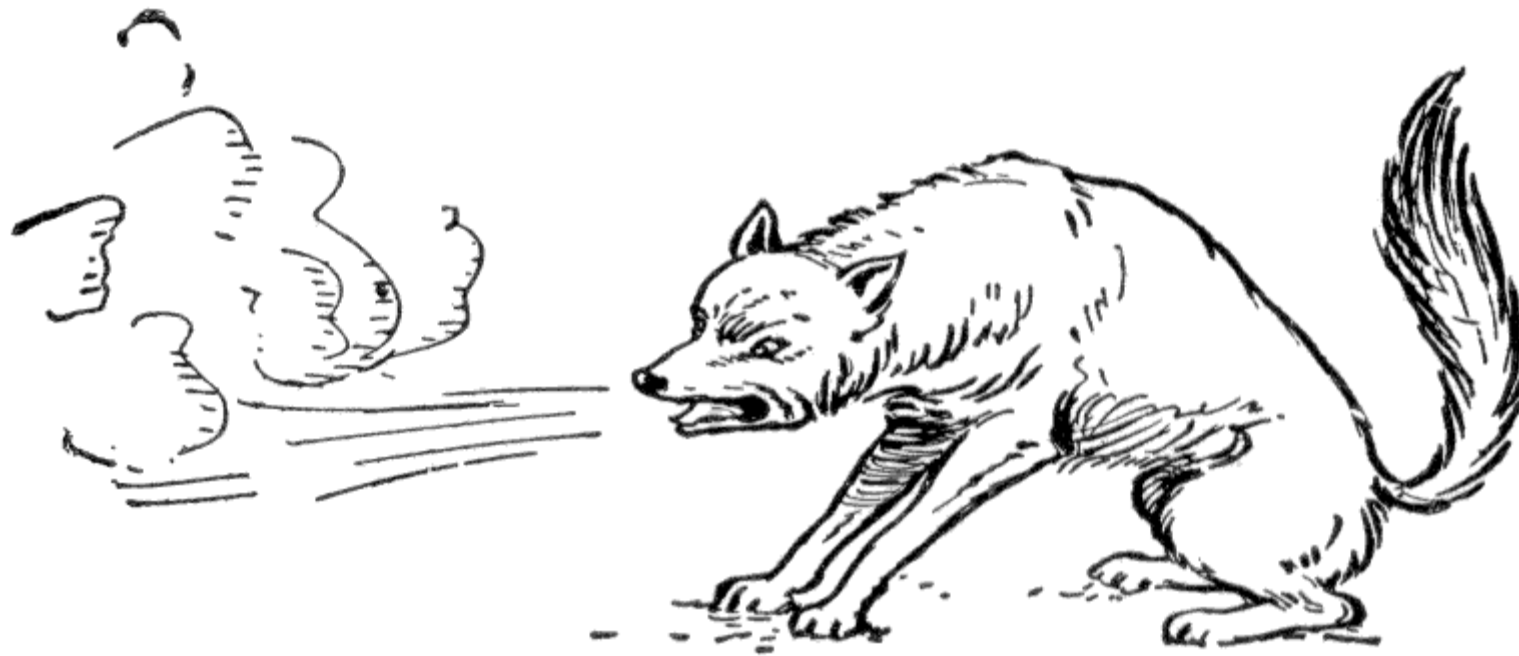
- Circolano nella popolazione canina domestica in Italia ed est Europa
- Prima segnalazione di epidemia nei selvatici
- In una sola volpe in Cina e' stato riscontrato un ceppo Arctic-like





ISTITUTO G. CAPORALE
TERAMO

Cimurro..i primi casi clinici





ISTITUTO G. CAPORALE
TERAMO



OPEN ACCESS Freely available online



Arctic Lineage-Canine Distemper Virus as a Cause of Death in Apennine Wolves (*Canis lupus*) in Italy

Daria Di Sabatino¹, Alessio Lorusso^{1*}, Cristina E. Di Francesco², Leonardo Gentile³, Vincenza Di Pirro³, Anna Lucia Bellacicco¹, Armando Giovannini¹, Gabriella Di Francesco¹, Giuseppe Marruchella¹, Fulvio Marsilio², Giovanni Savini¹

1 Istituto Zooprofilattico Sperimentale dell'Abruzzo e del Molise "G. Caporale", Teramo, Italy, **2** Unit of Infectious Diseases, Faculty of Veterinary Medicine of Teramo, Teramo, Italy, **3** Veterinary Services, National Park of Abruzzi, Lazio and Molise, Pescasseroli (AQ), Italy



Fine Gennaio 201: Recuperati 3 lupi vivi

Maschio, 6-7 mesi di età

Femmina, 6-7 mesi di età

Maschio, 4-5 anni di età

Al ritrovamento:

- Iporeattiva
- Denutrita
- Incoordinazione motoria
- Diarrea con tracce di sangue vivo
- Parametri: TR 37,5; FR 16; FC 60

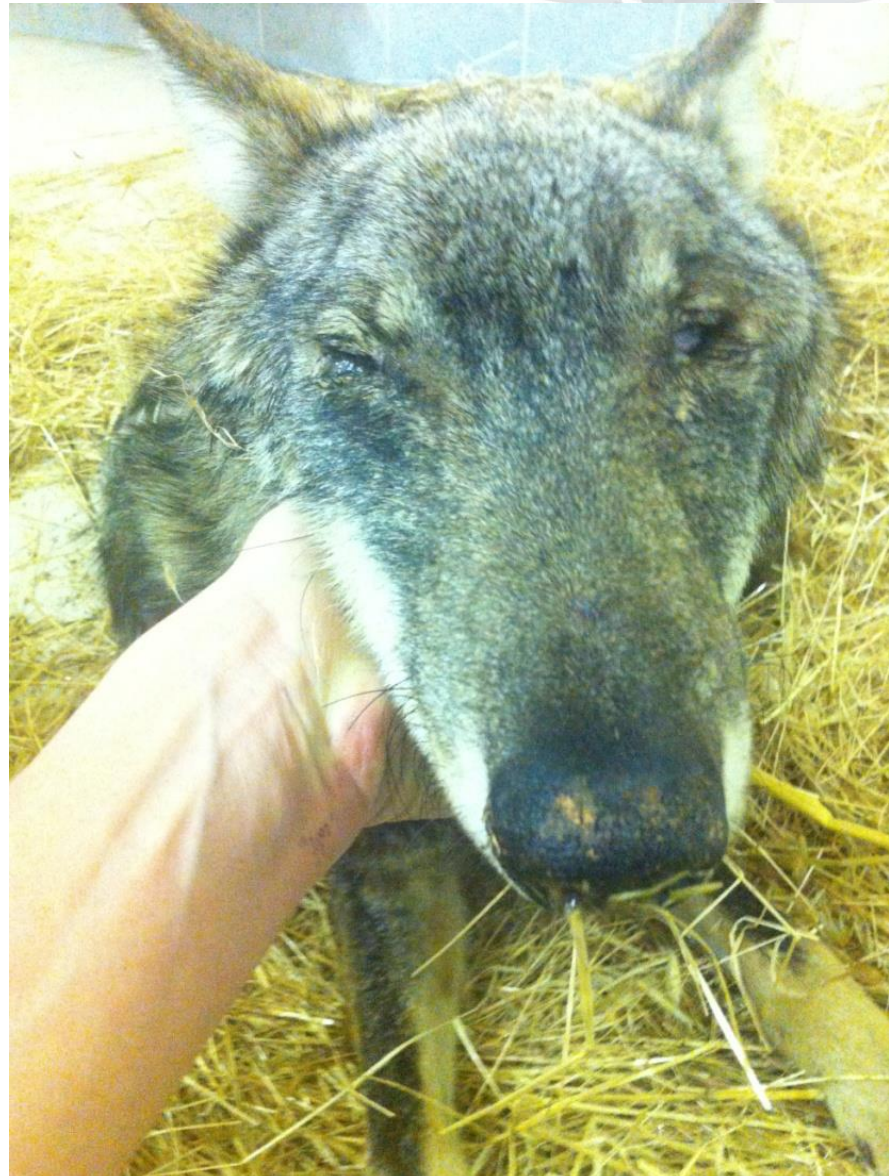
Progressivo peggioramento con:

- Crisi convulsive ripetute
- Scolo nasale bilaterale con abbondante muco giallastro e denso
- Grave congiuntivite bilaterale
- Aggravamento condizioni generali e coma
- Decesso



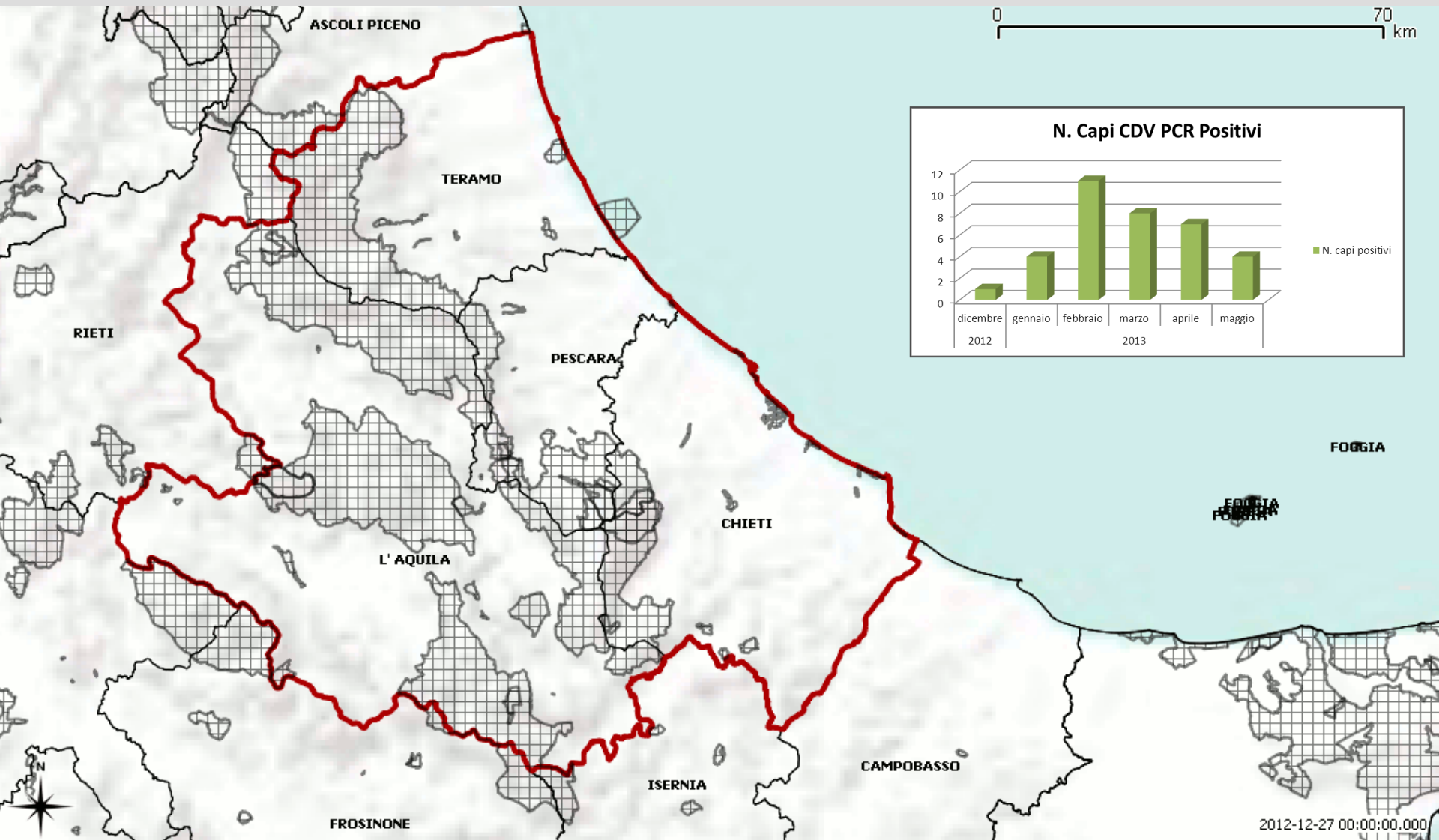
Gentile concessione PNALM

Primi casi con sintomi clinici



PROGRESSIONE TEMPORALE CASI CIMURRO CARNIVORI SELVATICI

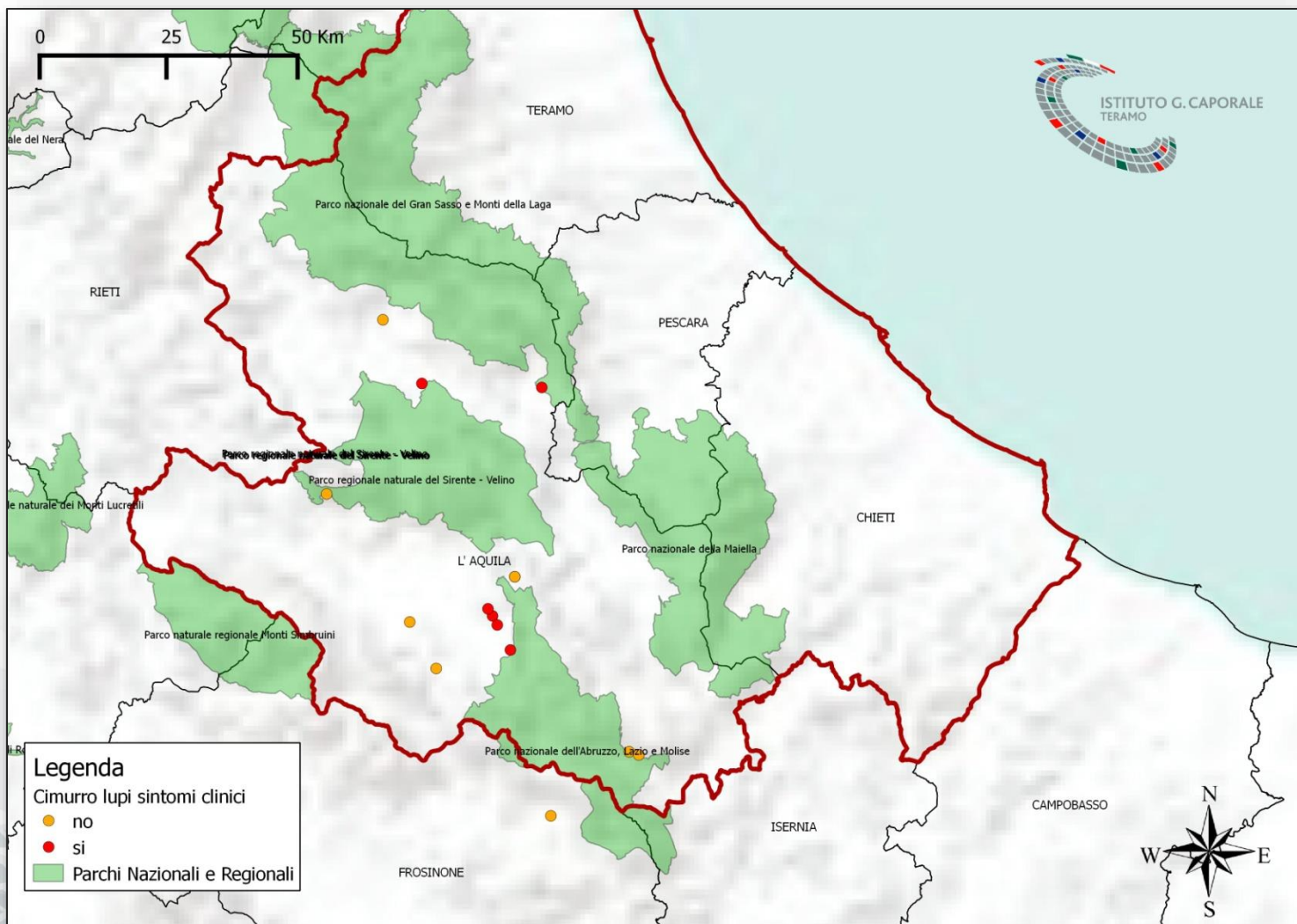
Primo caso 31/12/2012 ultimo caso 29/05/2013





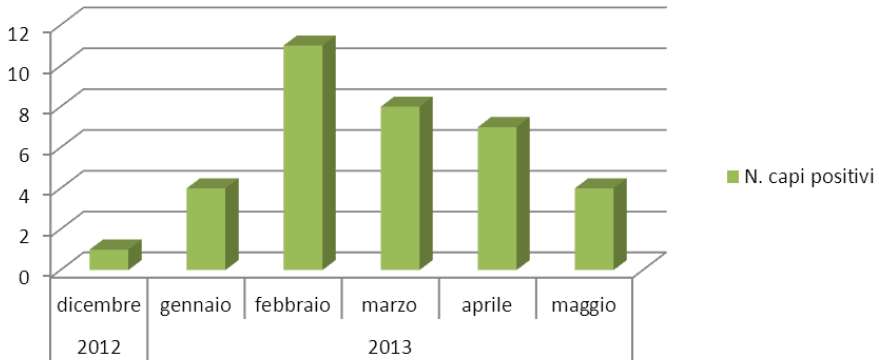
ISTITUTO G. CAPORALE
TERAMO

CASI CLINICI CIMURRO LUPI 2013

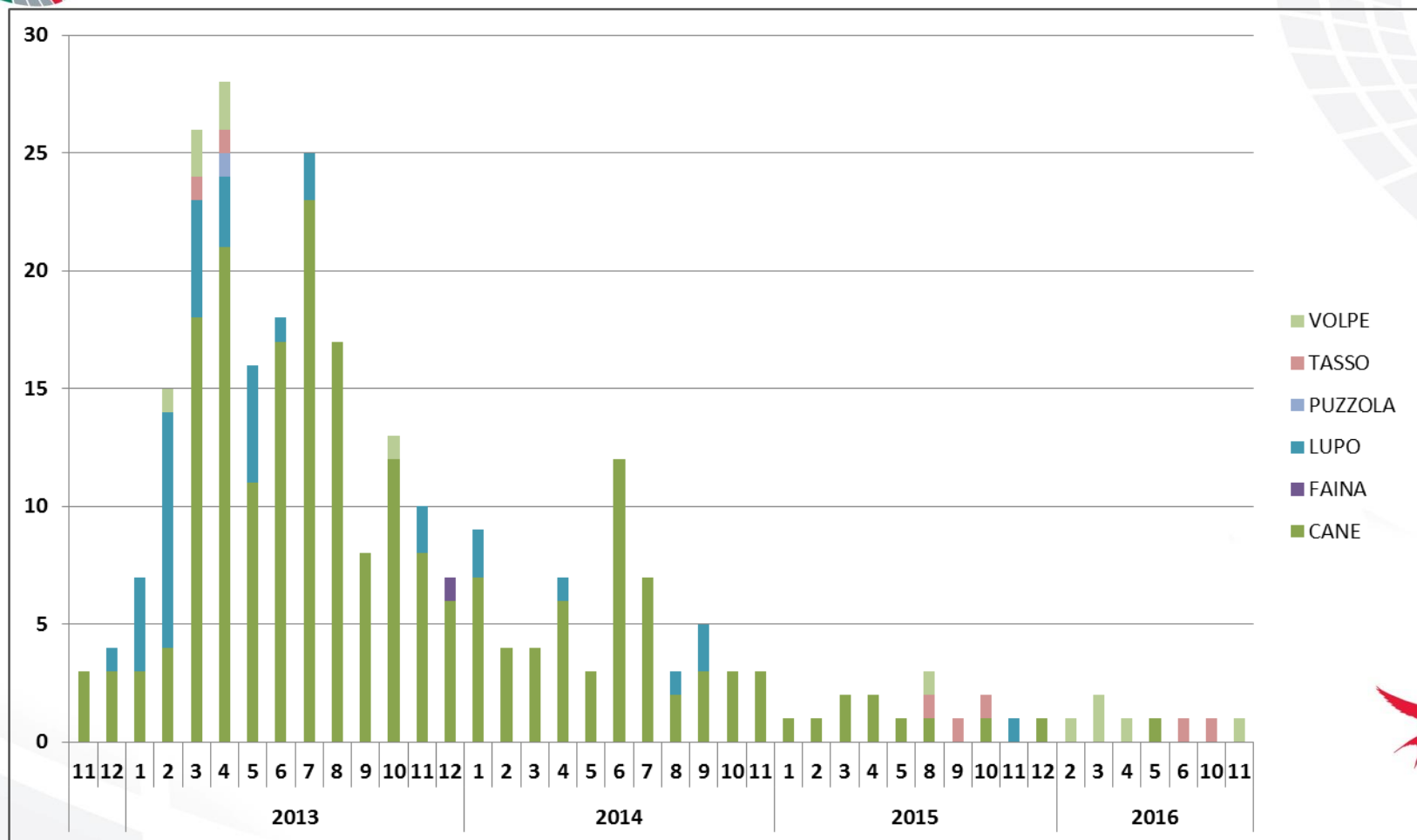




N. Capi CDV PCR Positivi



Provincia	Comune	N. capi Positivi
ASCOLI PICENO	ARQUATA DEL TRONTO	1
FROSINONE	SETTEFRATI	1
ISERNIA	CASTEL SAN VINCENZO	2
L'AQUILA	AVEZZANO	1
	BARREA	2
	CAPESTRANO	1
	CELANO	1
	CIVITELLA ALFEDENA	1
	COLLELONGO	1
	GIOIA DEI MARSI	4
	L'AQUILA	2
	MASSA D'ALBE	2
	OPI	1
	ORTONA DEI MARSI	2
	OVINDOLI	1
	PESCASSEROLI	4
	ROCCA DI MEZZO	1
	SAN DEMETRIO NE' VESTINI	1
	SULMONA	2
	TIONE DEGLI ABRUZZI	1
	TRASACCO	1
	VILLAVALLELONGA	1
TERAMO	TERAMO	1
Totale		35



L'epidemia di cimurro nei selvatici si è conclusa nella primavera-estate del 2013, solo casi sporadici sono stati confermati nei mesi e negli anni a seguire

L'epidemia di cimurro nei selvatici del 2013, ha interessato prevalentemente soggetti giovani (di cui il 40% inferiore ad 1 anno)

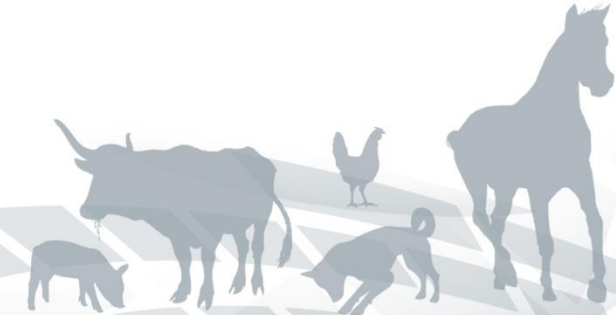
Species	Inferiore ad 1 anno	2012		2013		2014		2015		2016		Totale
		adulto	Inferiore ad 1 anno	adulto	sub-adulto	adulto	Inferiore ad 1 anno	adulto	Inferiore ad 1 anno	adulto	sub-adulto	
LUPO	2	8	13	8		3	2		1			37
LUPO-IBRIDO					1							1
PUZZOLA		1										1
TASSO		2						2	1		1	6
VOLPE		3	1	1				1		3	1	10
Total	2	14	14	9		4	2	2	3	3	2	55



Il rilievo di casi in soggetti giovani negli anni successivi indica una circolazione residua del virus



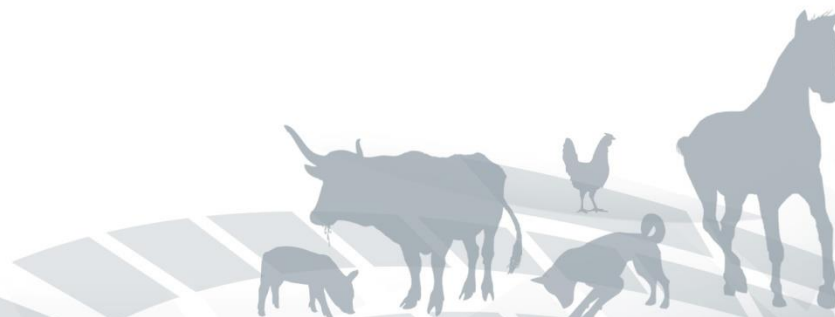
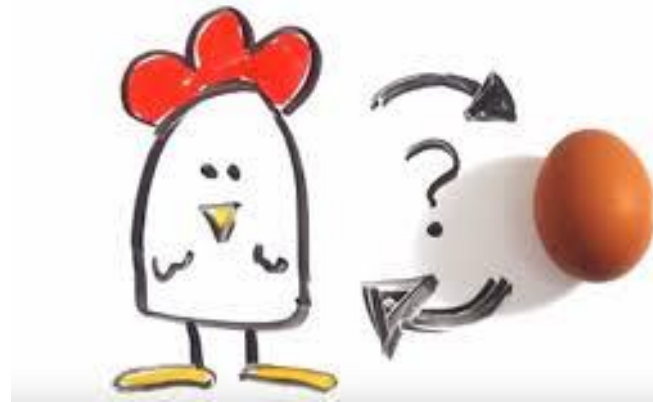
VACCINAZIONE !





CIMURRO - oggi

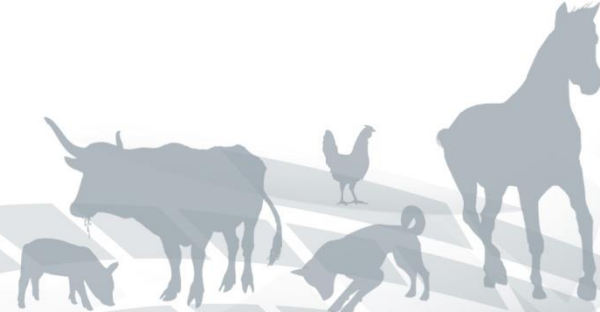
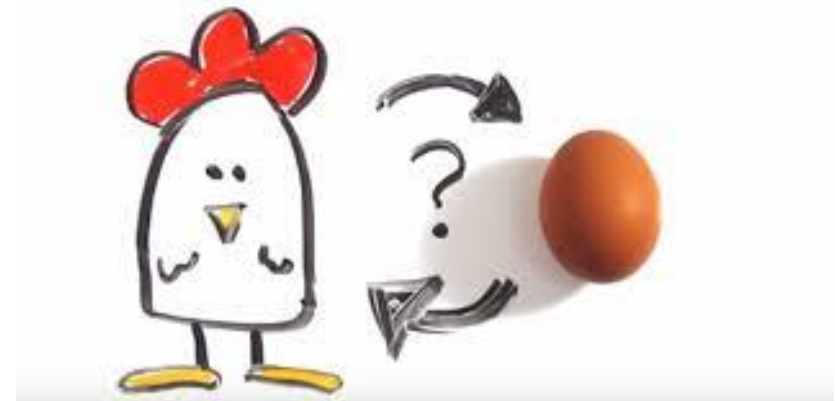
- L'epidemia dei cimurro nei selvatici del 2013 è ascrivibile con molta probabilità all'introduzione del virus del ceppo artico dalla popolazione canina a quella selvatica...
- Ma dov'è il virus oggi?





CIMURRO- oggi

- La popolazione di lupi e/o di volpi è in grado di mantenere la circolazione virale in natura?
- In altre parole il virus del cimurro si è endemizzato nella popolazione selvatica?



Canine distemper spillover in domestic dogs from urban wildlife.

Kapil S¹, Yearly T.J.



CIMURRO- oggi

La **vaccinazione** dei cani a rischio di contatto con la popolazione selvatica rimane comunque la strategia chiave per:

- **Proteggere I cani** da eventuali spillo-over dalla fauna selvatica nel caso di endemia nei selvatici
- **Proteggere I carnivori selvatici** da eventuali nuovi ingressi del virus dalla popolazione canina





Contents lists available at ScienceDirect

Vaccine

journal homepage: www.elsevier.com/locate/vaccine



Letter to the Editor

Canine distemper and endangered wildlife: Is it time for mandatory vaccination of dogs?

Keywords:
Distemper
Vaccination
Dogs
Wildlife

Infection by canine distemper virus (CDV) has been reported in all families of terrestrial carnivores as well as in some marine mammals. It causes a severe systemic and fatal disease [1]. In the last three decades, several outbreaks concerning endangered wildlife species were described worldwide and Italy as well experienced in the recent years severe CDV outbreaks in both domestic and sylvatic scenarios [2]. One of the last occurring CDV outbreaks has been reported in wolves in central Italy, in an area which hosts a critically endangered small population of brown bears (*Ursus arctos marsicanus*) [3]. CDV is a multi-host pathogen, and this characteristic assumes higher importance in the wildlife milieu. Interaction, immigration, feeding and mating are the main routes for sharing CDV between individuals of the same species. On the other hand, predators or scavengers of different species interact during feeding on the same animal or carcass. Endangered wild animals are threatened by multi-host pathogens in case of abundant sympatric species (domestic or wild) acting as reservoir, and with frequent interspecies interaction able to create a mixed host-species scenario that endures the maintenance of a persistent infection.

However, although CDV transmission dynamics and maintenance in wildlife are more complex than previously stated [4], undoubtedly the primary reservoir of CDV for wildlife are the infected domestic dogs. Dog population size and density provide indeed optimal conditions for maintaining a large and dense susceptible population which act as a reservoir for CDV with potentially catastrophic impact for the conservation of isolated wild populations. In some areas, mainly in spring and summer, when the number of wildlife juvenile individuals is higher, the scenario of overlap between the areas frequented by wildlife and by livestock guardian dogs (LGD) or stray dogs is not uncommon. In this scenario CDV transmission from dogs to wildlife has been well described in the African and European contexts [3,4]. Vaccine-based prophylaxis is the only effective way to keep clinical distemper disease under control in dogs. As massive vaccination of wild animals is

not feasible, the control of the interface between domestic dogs and wildlife has a crucial role to prevent the spread of the virus in critical areas in which endangered species are hosted. Massive vaccination of domestic dog in "strategic" areas must be considered as valid preventive measures to protect rare and susceptible wild species. Vaccine coverage of 95% is needed to control distemper in dogs [5]. Therefore legislating for mandatory CDV vaccination, prioritizing for domestic and LGD dogs has to be considered nearby parks or natural areas. Long-lasting immunity for CDV, which can be reached by a single shot of vaccine, needs to be extended to domestic dogs and to be continuous and widespread. Indeed, CDV epidemics are yet common in dogs and poor vaccination coverage is the main reason explaining this phenomenon.

Conflict of interest

The authors disclose any actual or potential conflict of interest including any financial, personal or other relationships that could inappropriately influence, or be perceived to influence, their work.

References

- [1] Martella V, Elia G, Buonavoglia C. Canine distemper virus. *Vet Clin N Am Small Anim Pract* 2008;38:787–97.
- [2] Martella V, Bianchi A, Bertolotti I, Pedrotti L, Guglietti A, Catella A, et al. Canine distemper epizootic among red foxes, Italy, 2009. *Emerg Infect Dis* 2010;16:2007–9.
- [3] Lorusso A, Savini G. Old diseases for new nightmares: distemper strikes back in Italy. *Vet Ital* 2014;50:151–4.
- [4] Viana M, Cleaveland S, Matthiopoulos J, Haliday C, Craft M, et al. Dynamics of a morbillivirus at the domestic-wildlife interface: canine distemper virus in domestic dogs and lions. *Proc Natl Acad Sci USA* 2015;112:1464–9.
- [5] Rikula U, Niutio L, Siivonen L. Vaccine coverage, herd immunity and occurrence of canine distemper from 1990–1996 in Finland. *Vaccine* 2007;25:1994–8.

Daria Di Sabatino
Giovanni Savini
Alessio Lorusso*
Istituto Zooprofilattico Sperimentale dell'Abbruzzo e Molise, Teramo, Italy

* Corresponding author. Tel.: +39 0861332440;
fax: +39 0861332251.
E-mail address: a.lorusso@izs.it (A. Lorusso)

26 January 2015
Available online xxx

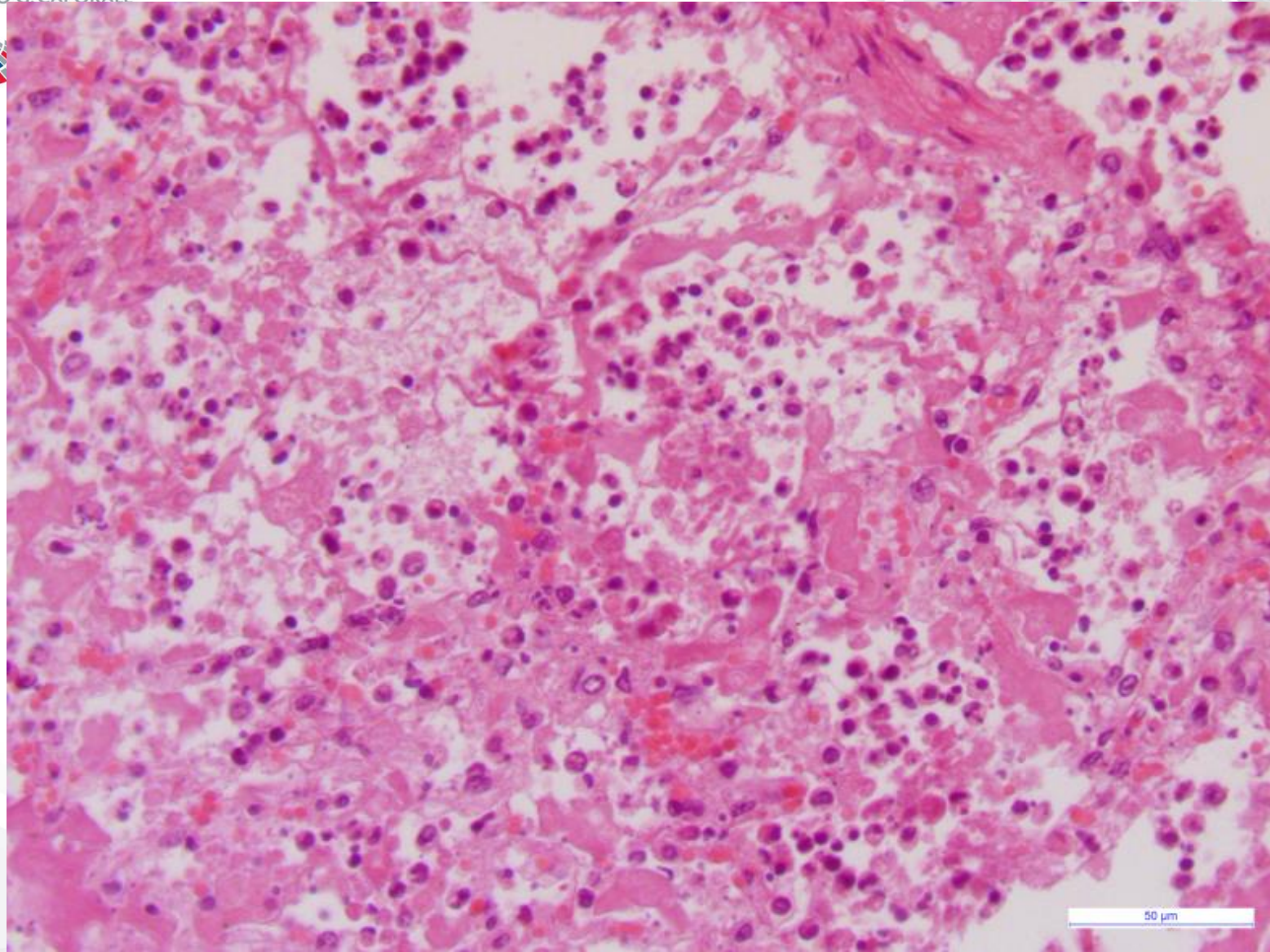




ISTITUTO G. CAPORALE
TERAMO

2015



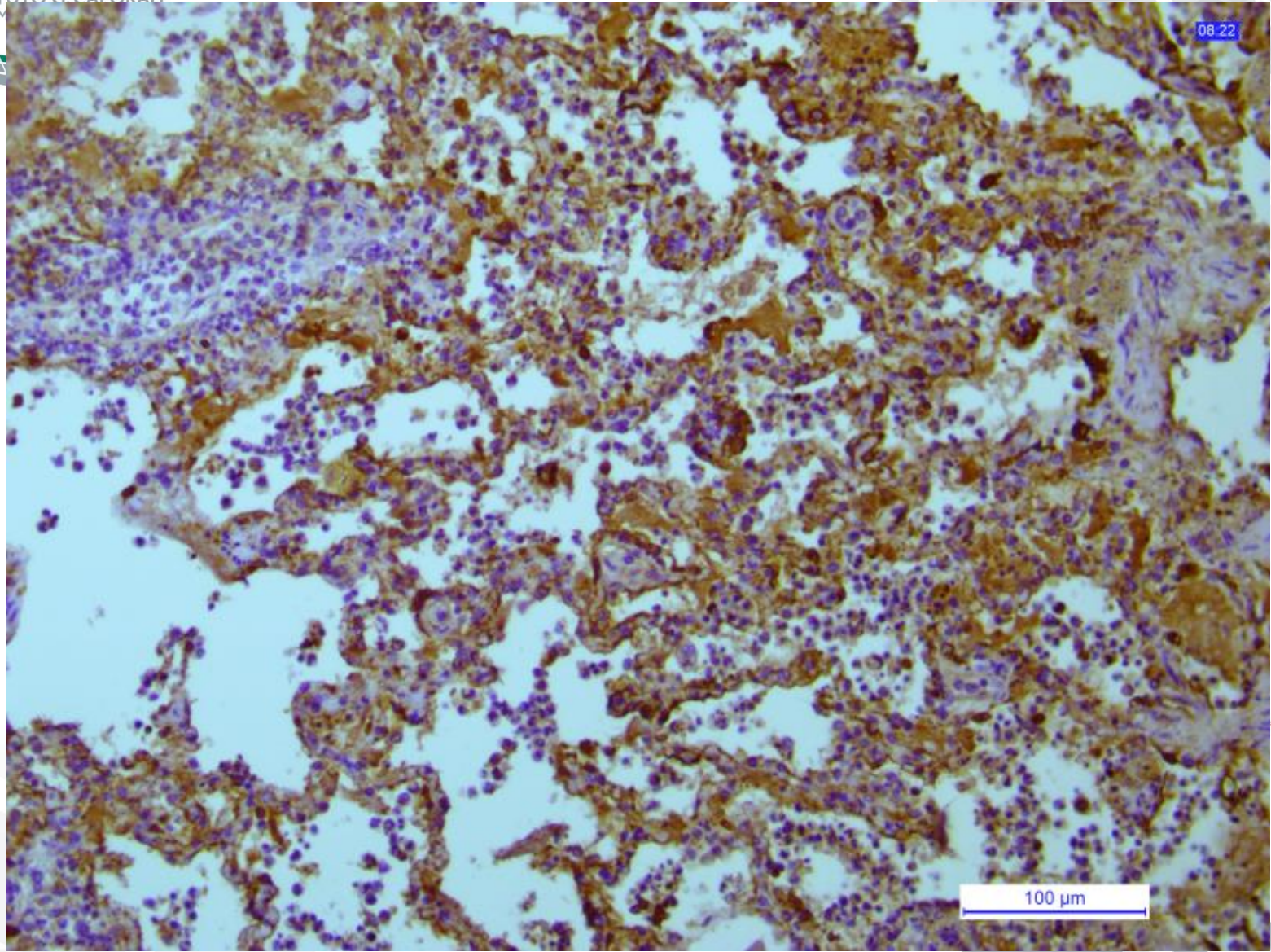


50 µm

Fig 1



ISTITUTO G. CAPORALE
TERAMO



100 μm

Fig 2A

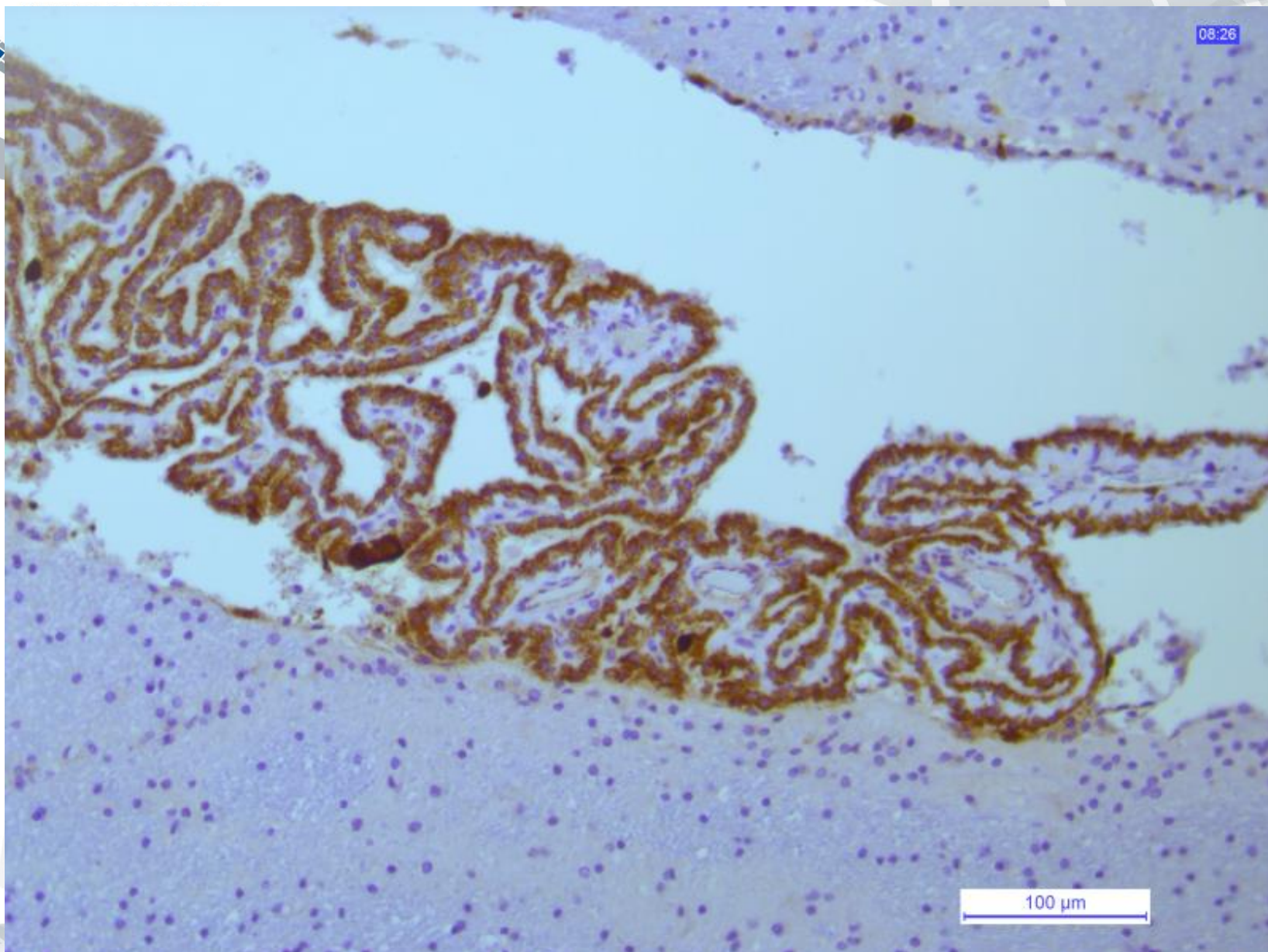
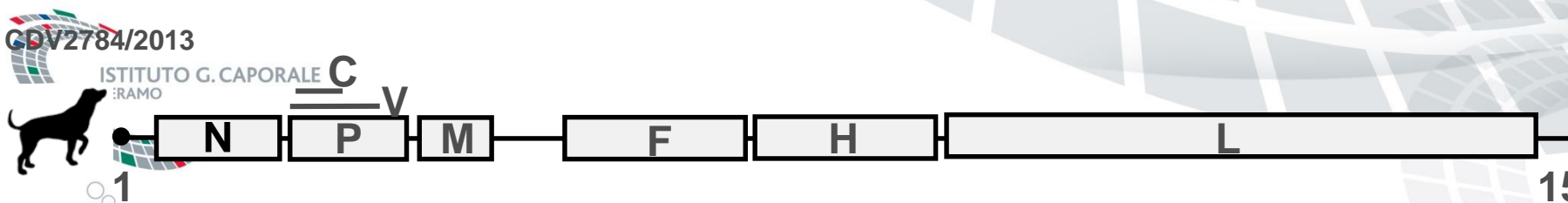


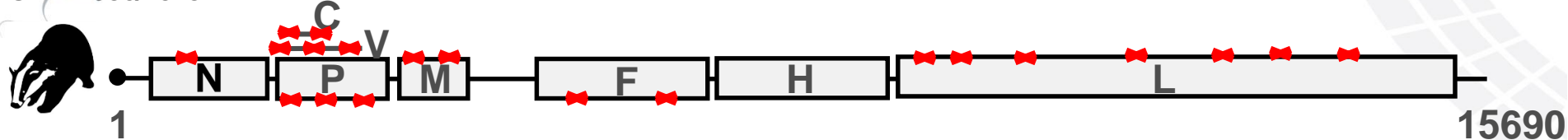
Fig 2B

CDV2784/2013

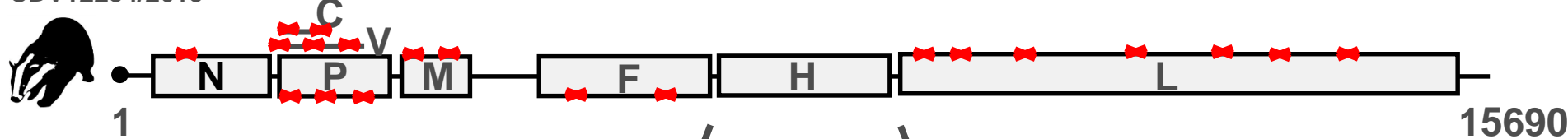
ISTITUTO G. CAPORALE
RAMO



CDV11956/2015



CDV12254/2015



CDV2784/2013



Wa-CDV2013



CDV11956/2015, CDV12254/2015



Fig 3



Fig 4

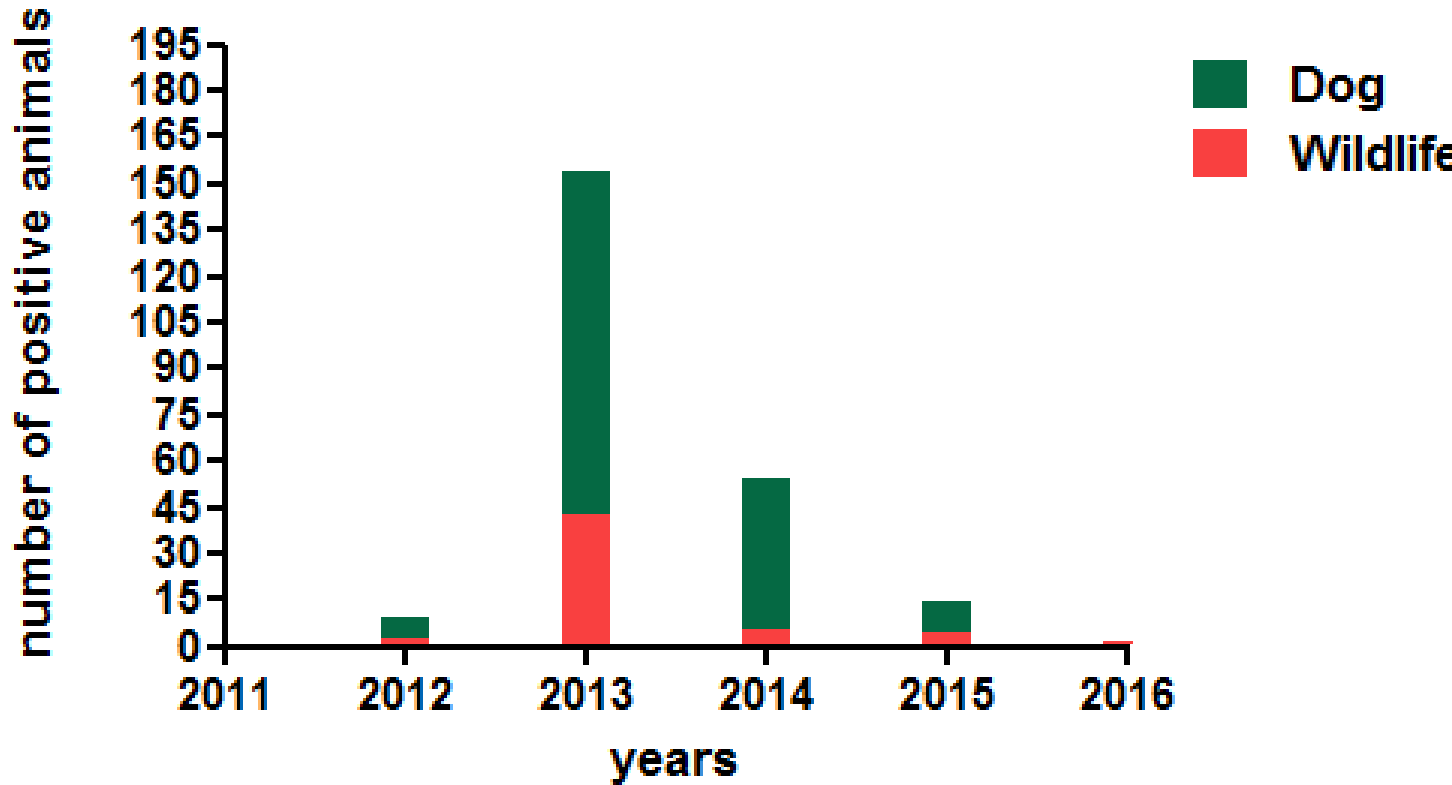


Fig 5



ISTITUTO G. CAPORALE
TERAMO

Infection, Genetics and Evolution 46 (2016) 130–137



Contents lists available at ScienceDirect

Infection, Genetics and Evolution

journal homepage: www.elsevier.com/locate/megeid



Research paper

Lethal distemper in badgers (*Meles meles*) following epidemic in dogs and wolves



Daria Di Sabatino ^a, Gabriella Di Francesco ^a, Guendalina Zaccaria ^a, Daniela Malatesta ^a, Luca Brugnola ^b, Maurilia Marcacci ^a, Ottavio Portanti ^a, Fabrizio De Massis ^a, Giovanni Savini ^a, Liana Teodori ^a, Enzo Ruggieri ^a, Iolanda Mangone ^a, Pietro Badagliacca ^a, Alessio Lorusso ^{a,*}

^a Istituto Zooprofilattico Sperimentale dell'Abruzzo e del Molise (IZSAM), Campo Boario, 64100, Teramo, Italy

^b Corpo Forestale dello Stato, Ufficio Territoriale per la Biodiversità, Viale Riviera 29, 65121, Pescara, Italy

